

## **Feladatok a numerikus prognosztika témaköréből**

(A „Klasszikus dinamikus meteorológiai feladatgyűjtemény II.”  
című elektronikus jegyzet XIII. fejezete)

Szépszó Gabriella

Budapest, 2013. szeptember

## Tartalomjegyzék

<b>XIII.1. BEVEZETÉS.....</b>	<b>2</b>
<b>XIII.2. A VIZSGÁLT PARCIÁLIS DIFFERENCIÁLEGYENLETEK .....</b>	<b>2</b>
<b>XIII.3. VÉGES DIFFERENCIA SÉMÁK AZ IDŐBELI ÉS A TÉRBELI DERIVÁLTAK KÖZELÍTÉSÉRE .....</b>	<b>5</b>
<b>XIII.4. A NUMERIKUS MEGOLDÁSSAL SZEMBEN TÁMASZTOTT MATEMATIKAI KÖVETELMÉNYEK .....</b>	<b>7</b>
XIII.4.1. Konzisztencia.....	7
XIII.4.2. Konvergencia.....	7
XIII.4.3. Numerikus stabilitás .....	7
Feladatok .....	8
Megoldások .....	10
<b>XIII.5. A STABILITÁS VIZSGÁLATA .....</b>	<b>17</b>
XIII.5.1. CFL-kritérium.....	17
XIII.5.2. Stabilitásvizsgálati módszerek.....	18
Energia-módszer.....	18
Feladat .....	19
Megoldás .....	19
Neumann-módszer.....	20
Feladatok .....	24
Megoldások .....	25
<b>XIII.6. HATÉKONY NUMERIKUS SÉMÁK.....</b>	<b>31</b>
XIII.6.1. Szemi-implicit séma .....	31
XIII.6.2. Szemi-Lagrange módszer .....	32
Feladatok .....	34
Megoldások .....	35
<b>XIII.7. KITEKINTÉS .....</b>	<b>38</b>
<b>KÖSZÖNETNYILVÁNÍTÁS.....</b>	<b>38</b>
<b>IRODALOM.....</b>	<b>39</b>

### XIII.1. Bevezetés

Az időjárás alakításában a legfontosabb szerepet a légkörben fellépő hidro- és termodinamikai folyamatok játsszák, így az időjárás-előrejelzési modellek is főként ezeket a folyamatokat és kölcsönhatásokat veszik figyelembe. Ha ismerjük a légkör állapotát adott időpillanatban, akkor mivel a rendszer determinisztikus, a fizikai törvények alapján felállított matematikai egyenletek segítségével elméletileg egyértelműen meghatározható az időbeli fejlődése. (A gyakorlati megvalósításnál korlátot jelent a légköri folyamatok kaotikus jellege, például a kiindulási feltételek bizonytalanságára mutatott rendkívüli érzékenység.) A Newton-féle mozgásegyenletek, a tömeg- és energia-megmaradási egyenlet az univerzális gáztörvénnyel kiegészítve alkotja azt a folytonos nem-lineáris parciális differenciálegyenlet-rendszert, melynek megoldására – analitikus megoldás hiányában – numerikus módszereket alkalmazunk (Horányi et al., 1998). A kezdeti- és határfeltételeket igénylő egyenletrendszert a numerikus megoldás során egy háromdimenziós térbeli rács rácspontjaiban értelmezzük és az előrejelzés folyamán diszkrét időbeli lépésekben oldjuk meg. Az első numerikus modellt az 1910-es években alkották meg, de a numerikus számítások aranykora a számítógépek, majd a szuper-számítógépek megjelenésével vette kezdetét.

### XIII.2. A vizsgált parciális differenciálegyenletek

Az alábbiakban a *lineáris* másodrendű parciális differenciálegyenletek típusait és tulajdonságait tekintjük át. Ugyan az előrejelzési feladat alapját egy bonyolultabb, nem-lineáris parciális differenciálegyenlet-rendszer képezi, mégis lényeges ismerni az egyszerűsített lineáris egyenletek megoldására alkalmazott módszereket, mert hasonlókat használunk az összetett problémákra is (Kalnay, 2003). Tekintsük a másodrendű lineáris parciális differenciálegyenletek alábbi általános alakját a  $\phi(x, y)$  kétváltozós függvényre:

$$A \frac{\partial^2 \phi}{\partial x^2} + 2B \frac{\partial^2 \phi}{\partial x \partial y} + C \frac{\partial^2 \phi}{\partial y^2} + D \frac{\partial \phi}{\partial x} + E \frac{\partial \phi}{\partial y} + F \cdot \phi = G. \quad (\text{XIII.1.})$$

Az egyenletek osztályozását a másodrendű tagok együtthatói (azaz az  $A$ , a  $B$  és a  $C$ ) alapján végezzük el a következőképpen (Courant és Hilbert, 1962):

1. Ha  $B^2 - AC > 0$ , akkor az egyenlet **hiperbolikus**, amire egyszerű példa a hullám-

egyenlet:  $\frac{\partial^2 \phi}{\partial t^2} = c^2 \frac{\partial^2 \phi}{\partial x^2}$ , ahol  $c$  a hullám terjedési sebessége.

2. Ha  $B^2 - AC = 0$ , akkor az egyenlet **parabolikus**, amire egyszerű példa a diffúziós

egyenlet:  $\frac{\partial \phi}{\partial t} = \sigma \frac{\partial^2 \phi}{\partial x^2}$ , ahol  $\sigma$  a diffúziós együttható.

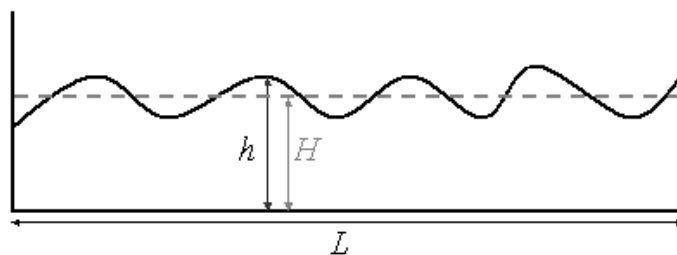
3. Ha  $B^2 - AC < 0$ , akkor az egyenlet **elliptikus**, amire egyszerű példa a Poisson-egyenlet:  $\frac{\partial^2 \phi}{\partial x^2} + \frac{\partial^2 \phi}{\partial y^2} = f(x, y)$  (konkrét meteorológiai példa az áramfüggvény és az örvényesség kapcsolata).

A további példáinkban gyakran előkerülő  $\frac{\partial \phi(x, t)}{\partial t} + c \frac{\partial \phi(x, t)}{\partial x} = 0$  alakban felírt egydimenziós lineáris advekciós egyenlet ugyan elsőrendű parciális differenciálegyenlet, de megoldásai kielégítik a másodrendű hiperbolikus hullámegyenletet, ezért a hiperbolikus egyenletek között tartjuk számon. Az elliptikus feladatok határérték-problémák, melyek megoldásához peremfeltételek megadása szükséges minden határpontban. A parabolikus és hiperbolikus feladatok ezzel szemben kezdetiérték-problémák, melyek a kiindulási feltétel megadását igénylik. (Illetve amennyiben egy korlátos térrészre oldjuk meg őket, úgy vegyes feladatként mind kezdeti, mind peremfeltételek megadását igénylik.) A példatár ezen fejezetében olyan problémákkal foglalkozunk, melyek az állapotváltozók kezdeti értékének megadását igénylik.

Tekintsük az ún. *sekély*, forgó folyadék egyenleteit, melynek karakterisztikus horizontális mérete jóval nagyobb a függőleges kiterjedésénél, vertikális irányban homogén, összenyomhatatlan és súrlódásmentes. Ezeket az egyenleteket **sekélyvíz-egyenleteknek** nevezünk:

$$\begin{aligned} \frac{\partial u}{\partial t} + u \frac{\partial u}{\partial x} + v \frac{\partial u}{\partial y} &= -g \frac{\partial h}{\partial x} + f \cdot v \\ \frac{\partial v}{\partial t} + u \frac{\partial v}{\partial x} + v \frac{\partial v}{\partial y} &= -g \frac{\partial h}{\partial y} - f \cdot u \\ \frac{\partial h}{\partial t} + u \frac{\partial h}{\partial x} + v \frac{\partial h}{\partial y} &= -h \cdot D, \end{aligned} \tag{XIII.2.}$$

ahol  $u(x, y, t)$  és  $v(x, y, t)$  a horizontális áramlási sebesség komponensei,  $h(x, y, t)$  a hullám magassága,  $g$  a gravitációs gyorsulás,  $f$  a Coriolis-paraméter és  $D$  a horizontális divergencia (l. a *XIII.1. ábrát* és az *V.2. fejezetet* is). A sekélyvíz egyenletek leírják a Rossby-hullámokat és a külső gravitációs hullámokat. A Rossby-hullámok a Coriolis-erő földrajzi szélességgel való változása következtében horizontális irányban fellépő hullámmozgások, melyek a teljes Földet körülölelik. Alapvető szerepet játszanak a nagytérségű légköri folyamatok alakításában, terjedési sebességük általában néhányszor  $10 \text{ ms}^{-1}$ , a hullámok hossza több ezer km. A külső gravitációs hullámok olyan vertikális hullámmozgások, melyek két közeg határán (pl. két eltérő sűrűségű légtömeg választófelületén) lépnek fel a gravitációs erő hatására. A Rossby-hullámoknál kisebb kiterjedésűek, tipikus méretskálájuk 500–2000 km, terjedési sebességük azonban megközelítheti a hanghullámok sebességét.



XIII.1. ábra. A sekély folyadék sematikus rajza: horizontális mérete ( $L$ ) jóval nagyobb, mint átlagos vertikális kiterjedése ( $H$ ; a légkörre  $\sim 10$  km). A folyadék aktuális magassága  $h$ .

Mivel a (XIII.2.) egyenletrendszer leírja a legfontosabb légköri folyamatokat, gyakran használják a különböző numerikus sémák tesztelésére. Ezért példáinkban mi is a sekélyvíz-egyenletek egyszerűsített, lineáris változatainak vezetjük be és vizsgáljuk a numerikus módszereket, mégpedig:

- Az egydimenziós lineáris advekción egyenleten:

$$\frac{\partial u}{\partial t} + c \frac{\partial u}{\partial x} = 0; \quad (\text{XIII.3.})$$

- Az egydimenziós lineáris gravitációs hullám-egyenleten:

$$\begin{cases} \frac{\partial u}{\partial t} + g \frac{\partial h}{\partial x} = 0 \\ \frac{\partial h}{\partial t} + H \frac{\partial u}{\partial x} = 0; \end{cases} \quad (\text{XIII.4.})$$

- Az advekción és gravitációs hullám-tagokat egyaránt tartalmazó lineáris feladaton:

$$\begin{cases} \frac{\partial u}{\partial t} + c \frac{\partial u}{\partial x} + g \frac{\partial h}{\partial x} = 0 \\ \frac{\partial h}{\partial t} + c \frac{\partial h}{\partial x} + H \frac{\partial u}{\partial x} = 0. \end{cases} \quad (\text{XIII.5.})$$

Az előrejelzési feladatnak analitikus megoldása nem ismert, ezért numerikus módszerek segítségével oldjuk meg azt. A folytonos egyenletek diskretizációjakor egy háromdimenziós rács rácspontjaiban tekintjük a meteorológiai állapotváltozókat, s az előrejelzést (a modellintegrálást) az időtáv időlépcsőkre osztásával, lépésenként készítjük el. A diskretizációval kapcsolatban az egyik legfontosabb kérdés, hogy az egyenletekben szereplő térbeli és időbeli differenciálást milyen numerikus módszerekkel végezzük el. A térbeli differenciáloperátorok közelítésére két módszercsaládot alkalmazhatunk: (i) a Galjorkin-módszerek esetében analitikusan integrálható függvények szerinti sorfejtéssel írjuk fel a meteorológiai változókat, míg (ii) a véges különbséges módszereknél a deriváltakat az állapotváltozók rácspontbeli értékeinek segítségével állítjuk elő. A példatár jelen fejezetében a különböző véges differencia sémákon keresztül ismertetjük a numerikus módszerek legfontosabb jellemzőit.

### XIII.3. Végés differencia sémák az időbeli és a térbeli deriváltak közelítésére

Az alábbiakban bemutatunk néhány, a térbeli és időbeli deriváltak közelítésére használható konkrét végés differencia sémát (l. a **II.6. fejezetet** is). Az egyenletekben szereplő térbeli differenciáloperátoroknak az adott  $j$  rácspontra vonatkozó diszkretizációjára a legelterjedtebben a következő módszereket alkalmazzák:

- **Bal oldali séma:**

$$u_{x,j}^- = \frac{u_j - u_{j-1}}{\Delta x}; \quad (\text{XIII.6.})$$

- **Jobb oldali séma:**

$$u_{x,j}^+ = \frac{u_{j+1} - u_j}{\Delta x}; \quad (\text{XIII.7.})$$

- **Középponti vagy centrált séma:**

$$u_{x,j}^o = \frac{u_{j+1} - u_{j-1}}{2\Delta x}. \quad (\text{XIII.8.})$$

A sémák arról kapták a nevüket, hogy a  $j$ -edik rácspontbeli derivált kiszámításához melyik rácspontokat használják fel. A középponti séma magasabb, másodrendű pontossággal közelíti a folytonos differenciáloperátort, mint a bal és jobb oldali sémák. (A pontosságról bővebben a konzisztencia kapcsán ejtünk szót.)

Az időbeli deriválás esetében tekintsük a következő feladatot:

$$\begin{cases} \frac{du}{dt} + f(u, t) = 0 \\ u(t=0) = u_0. \end{cases} \quad (\text{XIII.9.})$$

A fenti **Cauchy-probléma** esetében a feladat tulajdonképpen  $u(t)$  előrejelzése a kiindulási állapot ismeretében. Az egyenletben szereplő differenciáloperátor közelítésére explicit vagy implicit sémákat használhatunk. **Az explicit sémák** az adott időlépcsőbeli  $u$  meghatározásához csak **ismert időlépcsőbeli értékeket használnak fel**, míg **az implicit sémák a még nem ismert időlépcsőkből is felhasználnak értékeket**. Egy feladat implicit sémával történő megoldása ezért bonyolultabb (operátor invertálás vagy iteráció alkalmazását igényli), alkalmazásuk esetenként mégis előnyös lehet a számítási hatékonyság szempontjából (erről részletesen később).

Míg a térbeli deriváltak esetében a végés differencia sémákat a fent bemutatott differenciálhányados-alakban helyettesítjük az egyenletekbe, addig az időbeli fejlődés leírásánál a következő időlépcsőbeli  $u$  érték meghatározása a cél, ezért a diszkrét egyenleteket ennek meg-

felelően rendezzük át [l. a (XIII.10.)-et, ahol  $\frac{\Delta u}{\Delta t}$  és  $f_\Delta$  a diszkrét térben értelmezett időbeli deriváltat és  $f$  függvényt jelöli]. Néhány konkrét végés differencia sémát mutatunk be az alábbiakban az időbeli derivált diszkretizációjára (ahol az  $n$  index az  $n$ -edik időlépést jelöli):

- A legegyszerűbb az **explicit Euler- vagy Euler-forward séma**, ahol a forward elnevezés arra utal, hogy a séma a következő időlépcsőbeli értéket az ismert értékekből, tehát időben előre határozza meg:

$$\frac{\Delta u}{\Delta t} + f_{\Delta} = \frac{u_{n+1} - u_n}{\Delta t} + f(u_n, t_n) \rightarrow u_{n+1} = u_n - f(u_n, t_n) \cdot \Delta t ; \quad (\text{XIII.10.})$$

- **Implicit Euler- vagy Euler-backward séma:**

$$u_{n+1} = u_n - f(u_{n+1}, t_{n+1}) \cdot \Delta t ; \quad (\text{XIII.11.})$$

- **Leapfrog séma:**

$$u_{n+1} = u_{n-1} - f(u_n, t_n) \cdot 2\Delta t ; \quad (\text{XIII.12.})$$

- **Másodrendű implicit séma:**

$$u_{n+1} = u_n - [f(u_n, t_n) + f(u_{n+1}, t_{n+1})] \cdot \frac{\Delta t}{2} . \quad (\text{XIII.13.})$$

### XIII.4. A numerikus megoldással szemben támasztott matematikai követelmények

A numerikus megoldással kapcsolatban elvárjuk, hogy a diszkrétizált egyenletek elegendően nagy pontossággal közelítsék a folytonos feladatot, a megoldása konvergáljon a folytonos megoldáshoz, továbbá a számítógépes megvalósítás hatékony legyen. Az alábbiakban sorra vesszük, hogyan definiáljuk ezeket a tulajdonságokat.

#### XIII.4.1. Konzisztencia

Tekintsük most a következő, általános alakban felírt folytonos feladatot:

$$\begin{cases} \frac{du}{dt} = Lu, & t \in (0, T] \\ u(t=0) = u_0. \end{cases} \quad (\text{XIII.14.})$$

Definiáljunk ehhez egy rácsot, az egyszerűség kedvéért ekvidisztáns  $\Delta x$  rácsfelbontással, továbbá osszuk fel az időtávot  $\Delta t$  hosszúságú időlépésekre! A folytonos feladathoz konstruáljunk egy olyan feladatot, melyet ezen a diszkrét téren értelmezünk (a továbbiakban ezt hívjuk diszkrét vagy véges differencia feladatnak). Azt szeretnénk, hogy a diszkrét feladat jól közelítse a folytonos feladatot, s ezt a „közelséget” a konzisztencia adja meg: a véges differencia feladat konzisztens a folytonos feladattal, ha  $\Delta x \rightarrow 0, \Delta t \rightarrow 0$  mellett a két feladat közötti eltérés, azaz a különbségképzés után maradó **csenkítési hiba tart a 0-hoz**. A konzisztencia rendjét a csenkítési hiba vezető tagjának fokszáma adja meg, s ez minél magasabb, annál pontosabban közelíti az adott véges differencia séma a folytonos problémát.

#### XIII.4.2. Konvergencia

A numerikus megoldással kapcsolatban nemcsak azt várjuk el, hogy a diszkrétizált egyenletek elegendően nagy pontossággal közelítsék a folytonos feladatot, de azt is, hogy  $(U)$  megoldásuk konvergáljon  $a(z)$   $(u)$  folytonos megoldáshoz. Konvergencia esetén  $\Delta x \rightarrow 0, \Delta t \rightarrow 0$  mellett **a diszkrét feladat megoldása tart a folytonos feladat megoldásához** bármely  $j$  rácspontban és  $t > 0$  időpontban, azaz

$$\lim_{\substack{\Delta x \rightarrow 0, \Delta t \rightarrow 0, \\ j\Delta x \rightarrow x, n\Delta t \rightarrow t}} U(j\Delta x, n\Delta t) = u(x, t). \quad (\text{XIII.15.})$$

A konvergenciának tehát az előrejelzési időtáv minden időpontjában fenn kell állnia (azaz például a hatórás előrejelzések esetében csakúgy, mint a kétnapos prognózisoknál). A konvergencia matematikai feltételének teljesülését azonban nehéz belátni, ezért helyette legtöbbször a stabilitás teljesülését vizsgáljuk.

#### XIII.4.3. Numerikus stabilitás

Egy feladat stabil, ha a megoldása „folytonosan függ” a kiindulási feltételektől: azaz kis eltérés (hiba) a kezdeti feltételben nem vezet lényegesen eltérő megoldásra. Világos, hogy a stabilitás egymástól függetlenül értelmezhető a folytonos és a diszkrét feladatban – előbbinél fizikai stabilitásról, utóbbinál számítási (numerikus) stabilitásról beszélünk. A meteorológiai problémák esetében, ahol az állapotváltozók korlátos értékű függvények, a stabilitást



a hiba korlátosságán keresztül vizsgáljuk. Adott pontbeli és időlépésbeli  $U_{j,n}$  megoldás stabilitásához szükséges, hogy rögzített  $\Delta x$  rácsembontás mellett és  $\Delta t \rightarrow 0$  esetén az

$$\varepsilon_n = U(j\Delta x, n\Delta t) - u(x, t), \quad n\Delta t = t, j\Delta x = x \quad (\text{XIII.16.})$$

alakban definiált **hiba ne növekedjék az idővel**, azaz  $\varepsilon_n \leq \varepsilon_{n+1}$ . Az alkalmazott véges különbséges módszer pedig akkor stabil, ha bármely kezdeti feltételhez tartozó megoldás kielégíti a fenti feltételt (Mesinger és Arakawa, 1976). Lényeges, hogy a fenti követelmény csak **a stabilitás szükséges feltétele, elégséges feltételt** ugyanis nehéz **megadni és csak néhány speciális esetben lehetséges**. (Mindazonáltal a legtöbb esetben a szükséges feltétel teljesülése is elegendő a stabilitáshoz; Kalnay, 2003.)

A stabilitás és a konvergencia között a **Lax-Richtmyer tétel** (1956) teremt kapcsolatot, amely kimondja, hogy **egy konzisztens véges differencia sémákkal megadott lineáris kezdetiérték-feladat akkor és csak akkor konvergens, ha stabil**. Azaz a konzisztencia és a konvergencia együttes fennállása esetén a séma stabil, illetve a konzisztens és stabil séma egyben konvergens is. A tétel gyakorlati szempontból bír nagy jelentőséggel, mert külön-külön a konzisztencia és a stabilitás fenti feltételének vizsgálata egyszerűbb, mint közvetlenül a konvergencia teljesülését ellenőrizni.

## Feladatok

### [1. feladat:](#)

A  $\phi(x, t)$  mennyiségre vonatkozó

$$\frac{\partial \phi(x, t)}{\partial t} + c \frac{\partial \phi(x, t)}{\partial x} = 0 \quad (\text{XIII.17.})$$

egydimenziós lineáris advekción egyenlet időbeli deriváltjának közelítésére a forward, térbeli deriváltjának közelítésére a centrált sémát alkalmazzuk az alábbi módon:

$$\frac{\phi_{j,n+1} - \phi_{j,n}}{\Delta t} + c \frac{\phi_{j+1,n} - \phi_{j-1,n}}{2\Delta x} = 0, \quad (\text{XIII.18.})$$

ahol a  $j$  index a  $j$ -edik rácspontot, az  $n$  index az  $n$ -edik időlépcsőt jelöli,  $\Delta t$  és  $\Delta x$  pedig az időlépcső hossza és a rácstávolság. Taylor-sorfejtés segítségével határozzuk meg a közelítés konzisztenciájának rendjét!

### [2. feladat:](#)

Tekintsük a következő feladatot, ahol  $u_0$  az  $u(t)$  értéke a kiindulási időpontban:

$$\begin{cases} \frac{du(t)}{dt} + f(u, t) = 0 \\ u(t=0) = u_0 \end{cases} \quad (\text{XIII.19.})$$

Az időbeli derivált közelítésére alkalmazzuk az explicit Euler-módszert:

$$u_{n+1} = u_n - f(u_n, t_n) \cdot \Delta t, \quad (\text{XIII.20.})$$

ahol az  $n$  index az adott időlépést jelöli és  $\Delta t$  a numerikus modellintegrálás időlépcsője! Végezzük el a séma stabilitási analízisét!

### 3. feladat:

A (XIII.19.) feladatban alkalmazzuk az időbeli derivált közelítésére az alábbi implicit Euler-módszert:

$$u_{n+1} = u_n - f(u_{n+1}, t_{n+1}) \cdot \Delta t, \quad (\text{XIII.21.})$$

ahol az  $n$  index az adott időlépést jelöli és  $\Delta t$  a numerikus modellintegrálás időlépcsője! Végezzük el a séma stabilitási analízisét!

### 4. feladat:

Tekintsük az alábbi

$$\begin{cases} \frac{du}{dt} = -\kappa \cdot u \\ u(t=0) = u_0 \end{cases} \quad (\text{XIII.22.})$$

súrlódási feladatot, ahol  $\kappa > 0$  súrlódási együttható! Alkalmazzuk az időderivált közelítésére az explicit Euler-módszert és végezzük el a séma stabilitásvizsgálatát! Ábrázoljuk az eredményeket különböző időlépésekre! Ugyanezt tegyük meg az (implicit) Euler-backward módszerre is, ami a (XIII.19.) feladatra általánosan a következőképpen írható fel (az  $n$  index az adott időlépést jelöli és  $\Delta t$  a numerikus modellintegrálás időlépcsője):

$$u_{n+1} = u_n - f(u_{n+1}, t_{n+1}) \cdot \Delta t. \quad (\text{XIII.23.})$$

### 5. feladat:

Tekintsük az alábbi

$$\begin{cases} \frac{du}{dt} = i \cdot \omega \cdot u \\ u(t=0) = u_0 \end{cases} \quad (\text{XIII.24.})$$

oszcillációs feladatot, ahol  $\omega$  a frekvencia és valós szám,  $i = \sqrt{-1}$ ! Alkalmazzuk az időderivált közelítésére az explicit Euler-módszert és végezzük el a séma stabilitásvizsgálatát! Ugyanezt tegyük meg az (implicit) Euler-backward módszerre is!

## 6. feladat:

A (XIII.19.) egyenletben alkalmazzuk az időderivált közelítésére az alábbi explicit leapfrog-sémát:

$$u_{n+1} = u_{n-1} - f(u_n, t_n) \cdot 2\Delta t, \quad (\text{XIII.25.})$$

ahol az  $n$  index az adott időlépést jelöli és  $\Delta t$  a numerikus modellintegrálás időlépcsője! Végezzük el a séma stabilitási analízisét és értelmezzük az eredményt!

## Megoldások

### 1. feladat:

A konzisztencia rendjét a csonkítási hiba adja meg, amihez a diszkrét (XIII.18.) és a folytonos (XIII.17.) feladat különbségét kell venni. Ehhez először is alkalmazzunk Taylor-sorfejtést (XIII.18.) tagjaira a  $(j, n)$  pont körül:

$$\begin{aligned} \phi_{j,n+1} &= \phi(j \cdot \Delta x, n \cdot \Delta t + \Delta t) = \phi(j \cdot \Delta x, n \cdot \Delta t) + \Delta t \cdot \left. \frac{\partial \phi}{\partial t} \right|_{j,n} + o(\Delta t^2), \\ \phi_{j+1,n} &= \phi(j \cdot \Delta x + \Delta x, n \cdot \Delta t) = \phi(j \cdot \Delta x, n \cdot \Delta t) + \Delta x \cdot \left. \frac{\partial \phi}{\partial x} \right|_{j,n} + \frac{\Delta x^2}{2} \cdot \left. \frac{\partial^2 \phi}{\partial x^2} \right|_{j,n} + o(\Delta x^3), \\ \phi_{j-1,n} &= \phi(j \cdot \Delta x - \Delta x, n \cdot \Delta t) = \phi(j \cdot \Delta x, n \cdot \Delta t) - \Delta x \cdot \left. \frac{\partial \phi}{\partial x} \right|_{j,n} + \frac{\Delta x^2}{2} \cdot \left. \frac{\partial^2 \phi}{\partial x^2} \right|_{j,n} - o(\Delta x^3). \end{aligned} \quad (\text{XIII.26.})$$

Mindezeket behelyettesítve (XIII.18.)-ba:

$$\begin{aligned} \frac{\phi_{j,n+1} - \phi_{j,n}}{\Delta t} &= \frac{1}{\Delta t} \left[ \Delta t \cdot \left. \frac{\partial \phi}{\partial t} \right|_{j,n} + o(\Delta t^2) \right] = \left. \frac{\partial \phi}{\partial t} \right|_{j,n} + o(\Delta t), \\ \frac{\phi_{j+1,n} - \phi_{j-1,n}}{2\Delta x} &= \frac{1}{2\Delta x} \left[ 2\Delta x \cdot \left. \frac{\partial \phi}{\partial x} \right|_{j,n} + 2o(\Delta x^3) \right] = \left. \frac{\partial \phi}{\partial x} \right|_{j,n} + o(\Delta x^2). \end{aligned} \quad (\text{XIII.27.})$$

Kivonva (XIII.18.)-ból (XIII.17.)-et (XIII.27.) felhasználásával, a következőt kapjuk a csonkítási hibára:

$$Tr = o(\Delta t) + o(\Delta x^2). \quad (\text{XIII.28.})$$

Ez azt jelenti, hogy a **forward időbeli séma** az időderivált **elsőrendben pontos** közelítése, míg a térbeli derivált közelítésére használt **centrál séma** konzisztenciájának rendje 2, azaz **másodrendű** pontosságot biztosít.

### 2. feladat:

A stabilitás vizsgálatához írjuk fel (XIII.20.) hibával terhelt alakját:

$$u_{n+1} + \varepsilon_{n+1} = u_n + \varepsilon_n - f(u_n + \varepsilon_n, t_n) \cdot \Delta t. \quad (\text{XIII.29.})$$

A (XIII.29.)-ben szereplő  $f(u_n + \varepsilon_n, t_n)$ -t fejtsük sorba  $f(u_n, t_n)$  körül:

$$f(u_n + \varepsilon_n, t_n) = f(u_n, t_n) + \varepsilon_n \cdot \left. \frac{\partial f}{\partial u} \right|_n + o[(\varepsilon_n)^2]. \quad (\text{XIII.30.})$$

A (XIII.30.) felhasználásával vonjuk ki (XIII.29.)-ből (XIII.20.)-at:

$$\varepsilon_{n+1} = \varepsilon_n - \varepsilon_n \cdot \left. \frac{\partial f}{\partial u} \right|_n \cdot \Delta t - o[(\varepsilon_n)^2] \cdot \Delta t. \quad (\text{XIII.31.})$$

Az utolsó tag elhanyagolásával:

$$\varepsilon_{n+1} = \varepsilon_n \cdot \left( 1 - \Delta t \left. \frac{\partial f}{\partial u} \right|_n \right). \quad (\text{XIII.32.})$$

A stabilitáshoz szükséges, hogy a hiba korlátos maradjon, és ne növekedjen az idővel, azaz:

$$\varepsilon_{n+1} \leq \varepsilon_n \rightarrow \varepsilon_{n+1} = g \cdot \varepsilon_n, \text{ ahol } |g| \leq 1. \quad (\text{XIII.33.})$$

Jelen esetben a  $g$  ún. *áttérési együtthatóra* vonatkozó feltétel így alakul:

$$\left| 1 - \Delta t \left. \frac{\partial f}{\partial u} \right|_n \right| \leq 1. \quad (\text{XIII.34.})$$

A  $\frac{\partial f}{\partial u}$ -t tekintve három eset lehetséges:

1. Ha  $\frac{\partial f}{\partial u} > 0$ , akkor a stabilitás feltétele, hogy  $-1 \leq 1 - \Delta t \frac{\partial f}{\partial u} \rightarrow \Delta t \leq \frac{2}{\frac{\partial f}{\partial u}}$ .
2. Ha  $\frac{\partial f}{\partial u} \leq 0$ , akkor a séma feltétel nélkül instabil, mert  $g > 1$ .
3. Ha  $\frac{\partial f}{\partial u}$  komplex, pl. tisztán képzetes (pl. az oszcillációs feladatnál; l. az [5. feladat](#)ot), akkor a séma instabil, ugyanis  $|g| = |1 - i \cdot \beta \cdot \Delta t| \rightarrow |g| = \sqrt{1 + \beta^2 \Delta t^2} > 1$ .

### 3. feladat:

A stabilitás vizsgálatához írjuk fel (XIII.21.) hibával terhelt alakját:

$$u_{n+1} + \varepsilon_{n+1} = u_n + \varepsilon_n - f(u_{n+1} + \varepsilon_{n+1}, t_{n+1}) \cdot \Delta t. \quad (\text{XIII.35.})$$

A (XIII.35.)-ben szereplő  $f(u_{n+1} + \varepsilon_{n+1}, t_{n+1})$ -t fejtsük sorba  $f(u_{n+1}, t_{n+1})$  körül:

$$f(u_{n+1} + \varepsilon_{n+1}, t_{n+1}) = f(u_{n+1}, t_{n+1}) + \varepsilon_{n+1} \cdot \left. \frac{\partial f}{\partial u} \right|_{n+1} + o\left[(\varepsilon_{n+1})^2\right]. \quad (\text{XIII.36.})$$

A (XIII.36.) felhasználásával vonjuk ki (XIII.35.)-ből (XIII.21.)-et:

$$\varepsilon_{n+1} = \varepsilon_n - \varepsilon_{n+1} \cdot \left. \frac{\partial f}{\partial u} \right|_{n+1} \cdot \Delta t - o\left[(\varepsilon_{n+1})^2\right] \cdot \Delta t. \quad (\text{XIII.37.})$$

Az utolsó tag elhanyagolásával:

$$\varepsilon_{n+1} \cdot \left( 1 + \Delta t \left. \frac{\partial f}{\partial u} \right|_{n+1} \right) = \varepsilon_n. \quad (\text{XIII.38.})$$

A stabilitás szükséges feltétele így alakul:

$$\frac{1}{|g|} = \left| 1 + \Delta t \left. \frac{\partial f}{\partial u} \right|_{n+1} \right| \geq 1. \quad (\text{XIII.39.})$$

A  $\frac{\partial f}{\partial u}$ -t tekintve három eset lehetséges:

- Ha  $\frac{\partial f}{\partial u} \geq 0$ , akkor a séma feltétel nélkül stabil, mert  $1 + \Delta t \frac{\partial f}{\partial u} \geq 1$ .
- Ha  $\frac{\partial f}{\partial u} < 0$ , akkor a stabilitás feltétele, hogy  $1 + \Delta t \frac{\partial f}{\partial u} > -1 \rightarrow \Delta t < \frac{2}{-\frac{\partial f}{\partial u}}$ .
- Ha  $\frac{\partial f}{\partial u}$  komplex, pl. tisztán képzetes (pl. az oszcillációs feladatnál; l. az [5. feladat](#)ot), akkor a séma feltétel nélkül stabil, ugyanis  $|g| = \frac{1}{|1 + i \cdot \beta \cdot \Delta t|} \rightarrow |g| < 1$ .

#### 4. feladat:

A súrlódási feladat analitikus megoldása  $u(t) = u_0 \cdot e^{-\kappa t}$ , azaz a feladat exponenciálisan csillapodó mozgást ír le. Ha az explicit Euler-módszert alkalmazzuk az időbeli derivált közelítésére, akkor az  $u$  megoldást tetszőleges időlépcsőben a következőképpen adhatjuk meg:

$$\begin{aligned} f &= \kappa \cdot u \rightarrow \\ u_{n+1} &= u_n - f(u_n, t_n) \cdot \Delta t = \\ &= u_n - \kappa \cdot u_n \cdot \Delta t = (1 - \kappa \cdot \Delta t) \cdot u_n = (1 - \kappa \cdot \Delta t)^n \cdot u_0, \end{aligned} \quad (\text{XIII.40.})$$

ahol az egyenlőség végén szereplő  $n$  értelemszerűen nem index, hanem kitevő. A [2. feladat](#) eredményét felhasználva: mivel jelen esetben  $\frac{\partial f}{\partial u} = \kappa > 0$ , ezért a stabilitáshoz

$\Delta t \leq 2 \left( \frac{\partial f}{\partial u} \right)^{-1} = \Delta t \leq \frac{2}{\kappa}$  szükséges. Ugyanakkor, ha nem szeretnénk a feladat fizikai értelmét sem elveszíteni (azaz a sebesség a súrlódás hatására az idővel fokozatosan csökkenjen 0-ra, ahogy a valóságban), akkor a szigorúbb  $\Delta t \leq \frac{1}{\kappa}$  feltételnek kell teljesülnie  $\Delta t$ -re azért, hogy a megoldás ne váltson előjelet és oszcilláljon időlépésenként.

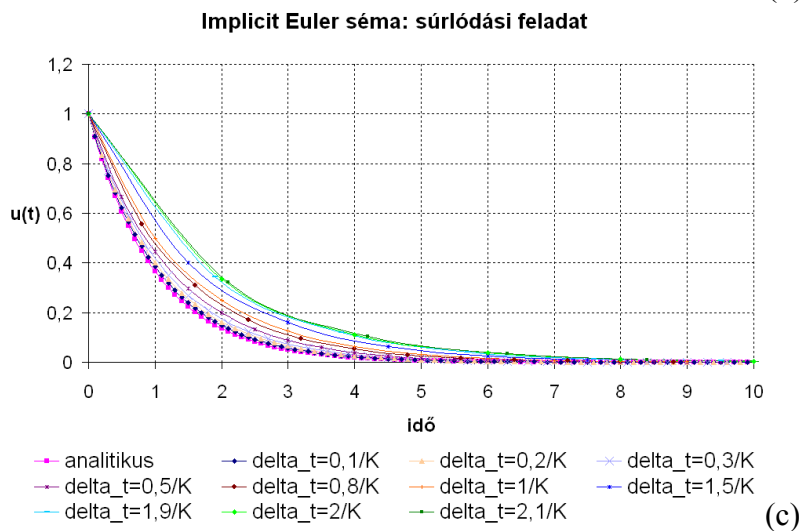
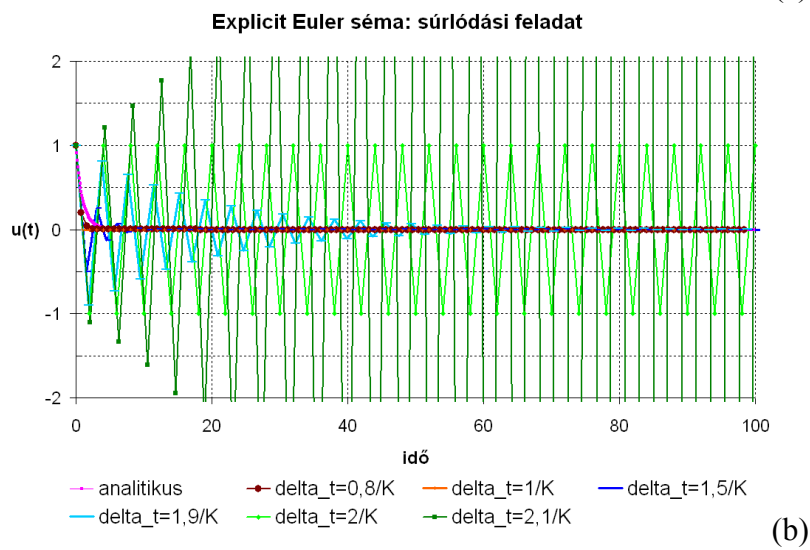
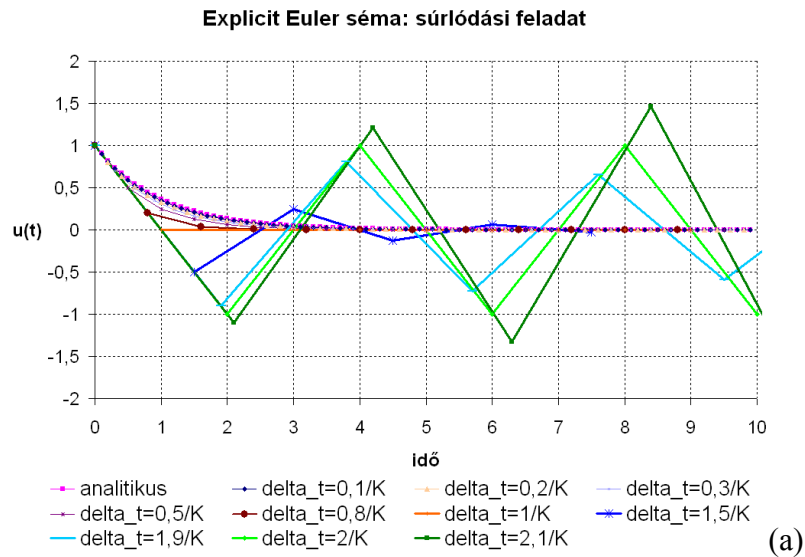
Ha az Euler-backward módszert alkalmazzuk, akkor az  $u$  megoldást tetszőleges időlépcsőben a következőképpen adhatjuk meg:

$$u_{n+1} = u_n - \kappa \cdot u_{n+1} \cdot \Delta t \rightarrow u_{n+1} = \frac{1}{(1 + \kappa \cdot \Delta t)} \cdot u_n = \frac{1}{(1 + \kappa \cdot \Delta t)^n} \cdot u_0, \quad (\text{XIII.41.})$$

ahol az egyenlőség végén szereplő  $n$  itt is kitevő. A [3. feladat](#) eredményét felhasználva: mivel jelen esetben  $\frac{\partial f}{\partial u} = \kappa > 0$ , ezért a módszer feltétel nélkül stabil.

A súrlódási feladatra alkalmazott explicit és implicit Euler-módszerek különböző időlépcsők választásával számított eredményét mutatja be a **XIII.2. ábra**. Látható, hogy ha az explicit Euler-módszer esetében a megengedett  $\frac{2}{\kappa}$ -nál nagyobb időlépcsőt alkalmazunk a numerikus modellintegrálás során, akkor a diszkrét megoldás a folytonos feladat megoldásától teljesen eltérően viselkedik, és a két megoldás közötti eltérés az idővel tart a végtelenhez [(a) és (b) panel]. Azt is láthatjuk, hogy ha  $\frac{1}{\kappa} < \Delta t < \frac{2}{\kappa}$  hosszúságú időlépcsőt választunk, akkor a diszkrét megoldás oszcilláló viselkedést mutat, ami pedig nem jellemzi a fizikai megoldást. Ekkor a diszkrétizált feladat még stabil marad (hiszen az eltérés a folytonos és a diszkrét megoldás között korlátos), de a diszkrét feladat megoldása elveszíti fizikai értelmét.

Az ábra (c) panelje azt illusztrálja, hogy ha ugyanerre a feladatra az implicit Euler-sémát alkalmazzuk, akkor tetszőlegesen hosszú időlépcsőt választhatunk, a feladat stabil, sőt, fizikailag értelmes marad.



**XIII.2. ábra.** A súrlódási feladatra alkalmazott explicit (a és b) és implicit (c) Euler-módszerek vizsgálata különböző időlépcső (az ábrán  $\delta t$ ) értékek választásával. A rózsaszín görbék az analitikus megoldást mutatják, a többi görbe a különböző időlépcsővel számított numerikus megoldást 10 (a és c), illetve 100 (b) időegységig.

### 5. feladat:

Az oszcillációs feladat analitikus megoldása  $u(t) = u_0 \cdot e^{i \cdot \omega \cdot t}$ , azaz a feladat oszcilláló mozgást ír le. Ha az explicit Euler-módszert alkalmazzuk az időbeli derivált közelítésére, akkor az  $u$  megoldást tetszőleges időlépcsőben a következőképpen adhatjuk meg:

$$f = -i \cdot \omega \cdot u \rightarrow u_{n+1} = u_n + i \cdot \omega \cdot u_n \cdot \Delta t = (1 + i \cdot \omega \cdot \Delta t) \cdot u_n = (1 + i \cdot \omega \cdot \Delta t)^n \cdot u_0, \quad (\text{XIII.42.})$$

ahol az egyenlőség végén szereplő  $n$  értelemszerűen nem index, hanem kitevő. A [2. feladat](#) eredményét felhasználva: mivel jelen esetben  $\frac{\partial f}{\partial u}$  tisztán képzetes, ezért a séma instabil.

Ha az Euler-backward módszert alkalmazzuk, akkor az  $u$  megoldást tetszőleges időlépcsőben a következőképpen adhatjuk meg:

$$u_{n+1} = u_n + i \cdot \omega \cdot u_{n+1} \cdot \Delta t \rightarrow u_{n+1} = \frac{1}{(1 - i \cdot \omega \cdot \Delta t)} \cdot u_n = \frac{1}{(1 - i \cdot \omega \cdot \Delta t)^n} \cdot u_0, \quad (\text{XIII.43.})$$

ahol az egyenlőség végén szereplő  $n$  kitevő (és nem index). A [3. feladat](#) eredményét felhasználva: mivel jelen esetben  $\frac{\partial f}{\partial u}$  tisztán képzetes, ezért a módszer feltétel nélkül stabil.

Összefoglalva: az oszcillációs egyenletben a derivált közelítésére az explicit Euler-módszert alkalmazva nem tudunk olyan időlépcsőt választani, mellyel a modellintegrálás stabilitása biztosítható – tehát oszcillációs feladatokra az explicit Euler-módszer alkalmazása nem javasolt. Ugyanerre a feladatra az implicit Euler-sémát alkalmazva tetszőleges időlépcsőt választhatunk, a feladat stabil marad.

### 6. feladat:

A stabilitás vizsgálatához írjuk fel (XIII.25.) hibával terhelt alakját:

$$u_{n+1} + \varepsilon_{n+1} = u_{n-1} + \varepsilon_{n-1} - f(u_n + \varepsilon_n, t_n) \cdot 2\Delta t. \quad (\text{XIII.44.})$$

Az ebben szereplő  $f(u_n + \varepsilon_n, t_n)$ -t fejtsük sorba  $f(u_n, t_n)$  körül:

$$f(u_n + \varepsilon_n, t_n) = f(u_n, t_n) + \varepsilon_n \cdot \left. \frac{\partial f}{\partial u} \right|_n + o\left[(\varepsilon_n)^2\right]. \quad (\text{XIII.45.})$$

Utóbbi felhasználásával vonjuk ki (XIII.44.)-ből (XIII.25.)-öt:

$$\varepsilon_{n+1} = \varepsilon_{n-1} - \varepsilon_n \cdot \left. \frac{\partial f}{\partial u} \right|_n \cdot 2\Delta t - o\left[(\varepsilon_n)^2\right] \cdot 2\Delta t. \quad (\text{XIII.46.})$$

Az utolsó tag elhanyagolásával és felhasználva, hogy  $\varepsilon_n = g \cdot \varepsilon_{n-1}$ :



$$\varepsilon_{n+1} = \varepsilon_n \cdot \left( \frac{1}{g} - 2\Delta t \left. \frac{\partial f}{\partial u} \right|_n \right). \quad (\text{XIII.47.})$$

Ebből:

$$g = \frac{1}{g} - 2\Delta t \frac{\partial f}{\partial u} \rightarrow K := \Delta t \frac{\partial f}{\partial u} \rightarrow g^2 + 2K \cdot g - 1 = 0. \quad (\text{XIII.48.})$$

Abból eredően, hogy a leapfrog-séma három időszintet használ,  $g$ -re másodfokú egyenlet adódott, melynek két megoldása van. A másodfokú egyenlet megoldó-képlete alapján:

$$g_{1,2} = -K \pm \sqrt{K^2 + 1}. \quad (\text{XIII.49.})$$

Az egyik  $g$  a folytonos feladat fizikailag értelmes megoldásához tartozik (ún. *fizikai módusz*). A másik  $g$  viszont abból ered, hogy a leapfrog sémánál két kezdeti feltételt kell megadni a séma indításakor, s ebből adódóan keletkezik az ún. *számítási módusz*. Utóbbinak nincs fizikai értelme, csupán a több-időszintes diszkretizációs módszer alkalmazása miatt jelenik meg a numerikus megoldásban. **A teljes numerikus megoldás a fizikai és a számítási módusz (lineáris) kombinációjaként áll elő**, ezért nagy jelentősége van annak, hogy a számítási módusz hogyan fejlődik az idővel.

- Ha  $K$  valós, akkor az egyik gyök ( $g$ ) abszolút értéke mindig nagyobb egynél, azaz a megoldás instabil lesz.
- Ha  $K$  komplex, pl. tisztán képzetes:  $K = i\beta$  és  $|K| > 1$ , akkor az egyik gyök ( $g$ ) mindig nagyobb egynél, azaz a megoldás instabil lesz.
- Ha  $K$  komplex, pl. tisztán képzetes:  $K = i\beta$  és  $|K| < 1$ , akkor  $g = 1$  és a sémára megadható

stabilitási kritérium:  $\Delta t \leq \frac{1}{\left| \frac{\partial f}{\partial u} \right|}.$

## XIII.5. A stabilitás vizsgálata

### XIII.5.1. CFL-kritérium

A stabilitás a véges differencia sémákkal kapcsolatban elvárt tulajdonságok közül a legfontosabb, mert konzisztens séma esetén teljesülése a numerikus megoldás pontos megoldáshoz való konvergenciáját is biztosítja. A stabilitást az előzőekben olyan feladatokra vizsgáltuk meg, amelyekben csak időbeli differenciálás szerepelt. Ezekben az esetekben az adott véges differencia módszerhez választható integrálási időlépcső hosszát alapvetően a folytonos feladat jellege határozza meg. A következőkben olyan – a legfontosabb légkördinamikai folyamatokat egyszerűsített formában leíró – problémákat vizsgálunk, melyekben az időbeli deriváltak mellett térbeli differenciálhányadosok is szerepelnek. Ezekben a feladatokban – és az időjárás-előrejelző modellekben – a térbeli diszkretizáció adott rácsfelbontáson történik. Ezért a továbbiakban arra keressük a választ, hogy ezekben a problémákban mi határozza meg az alkalmazható időlépcső nagyságát, s vajon a térbeli felbontás és az alkalmazható időlépcső hossza között van-e összefüggés.

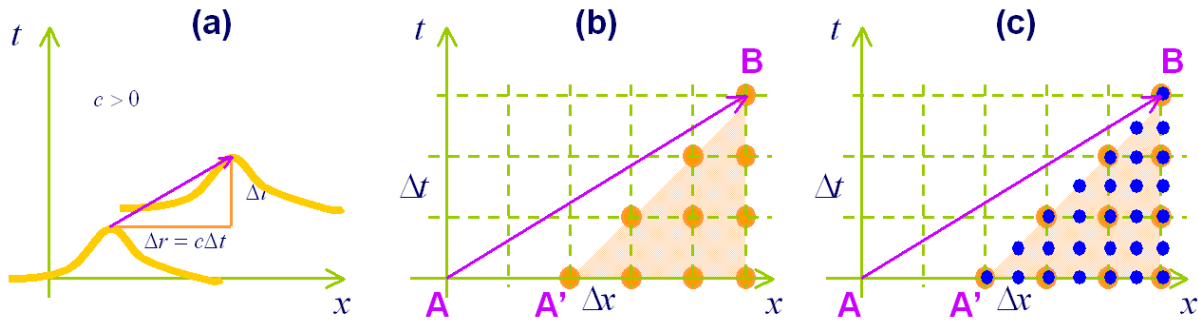
Tekintsük a (XIII.17.) egydimenziós lineáris advekción egyenletet! Ennek analitikus megoldása  $\phi(x - ct, 0)$ , amely a kezdeti feltételben megadott hullám  $c$  sebességgel való haladását írja le [XIII.3. ábra (a) panel]. Diszkretizáljuk a feladatot úgy, hogy az időbeli deriválásra explicit Euler-, a térbeli differenciálásra pedig bal oldali sémát alkalmazunk  $\Delta x$  rácsfelbontás és  $\Delta t$  időlépés mellett:

$$\frac{\phi_{j,n+1} - \phi_{j,n}}{\Delta t} + c \frac{\phi_{j,n} - \phi_{j-1,n}}{\Delta x} = 0. \quad (\text{XIII.50.})$$

Tudjuk, hogy a fenti sémák konzisztensek: mind az Euler-módszer, mind a bal oldali séma elsőrendben pontos, s annál kisebb hibával közelíti a folytonos feladatot, minél finomabb a rácsfelbontás és az időlépcső. Vessük most össze a numerikus megoldást a pontos megoldással néhány időlépés után egy kiválasztott  $B$  rácspontban, amihez tekintsük a XIII.3. ábra (b) paneljét. A folytonos feladatban a  $\phi$   $B$ -beli értékét a kiindulási, azaz az  $A$  pontbeli értéke határozza meg ( $A$  nem feltétlenül rácspont és helyzete az advekción sebességtől függ). Amennyiben a fenti sémákat alkalmazzuk a diszkretizációra, úgy a diszkretizált feladatban szintén  $c$  advekción sebességgel számolva,  $\phi$   $B$ -beli értékét az ábrán körrel jelölt rácspontok értékei határozzák meg. Ha az időlépcső és a rácsávolság aránya olyan, hogy a körök által lefedett terület nem tartalmazza az  $A$  pontot (mint a XIII.3. ábrán), akkor a numerikus és a pontos megoldás eltérése az idővel korlátlanul megnövekedhet, azaz (a definíció alapján) a numerikus módszer nem lesz stabil. Az ábra (c) panelje illusztrálja, hogy a felbontás és az időlépés *tetszőleges* finomítása nem javít ezen: hiába alkalmazunk feleakkora rácsávolságot és időlépést, a helyzet nem változik.

Hogyan válasszuk meg tehát az adott rácsfelbontáshoz tartozó időlépést, ha szeretnénk a stabilitást garantálni? A válasz megadható a XIII.3. ábra alapján: úgy kell megállapítani az időlépcsőt, hogy a  $B$  pontbeli numerikus megoldást meghatározó rácspontok tartománya magában foglalja a  $B$  pontbeli folytonos megoldást meghatározó  $A$  pontot (azaz az ábrán az  $A$  pont legyen része a színezett sárga tartománynak). Ez pedig akkor teljesül, ha az  $A'B$  szakasz meredeksége nem nagyobb, mint az  $AB$  szakaszé, azaz:

$$\Delta t \leq \frac{\Delta x}{c}. \quad (\text{XIII.51.})$$



XIII.3. ábra. (a) Az egydimenziós lineáris advekciós egyenlet megoldásának sematikus rajza: a kezdeti feltétellel meghatározott hullám  $c > 0$  sebességgel  $x$ -irányba való áthelyeződése egy időlépcső alatt. (b) Adott  $A$  pontbeli információ advekciója  $B$  pontba  $x$ -irányba mutató  $c > 0$  sebességgel néhány időlépcső alatt (lila egyenes) a folytonos feladatban, valamint azok a rácspontok (sárga pontok) időlépésenként, amelyek a (XIII.50.) sémákkal,  $\Delta x$  rácsebontással és  $\Delta t$  időlépcsővel diszkrétizált feladatban meghatározzák az érkezési pontban vett értéket. Ezek között a kiindulási időpillanatban a legszélső bal oldali rácspont az  $A'$  rácspont. (c) Ugyanaz, mint (b), csak feleakkora időlépcsővel és rácsebontással (kék pontok).

A (XIII.51.) feltétel tehát kimondja, hogy az időlépcsőt és a térbeli felbontást nem finomíthatjuk tetszőleges arányban. **A diszkrétizált feladat stabilitásához rögzített rácstávolság mellett az alkalmazható időlépcsőt a feladat által leírt mozgásformák leggyorsabb terjedési sebessége határozza meg** (a fenti példában a  $c$  advekciós sebesség). (Ez a stabilitás szükséges feltétele.) A feltétel általánosítható más feladatokra is, s általános alakjában Courant–Friedrichs–Lewy vagy **CFL-kritériumnak** (Courant et al., 1928) nevezik. A kritériumnak a számítási hatékonyság szempontjából van jelentősége, a meteorológiai előrejelzések készítésénél a számítási műveletek és az adatok rendkívüli mennyisége miatt ugyanis az alkalmazott numerikus módszerek hatékonysága is lényeges szempont. Minél nagyobb időlépcsőt tudunk használni, annál kevesebb lépésben kell megismételni az integrálási műveleteket, s az előrejelzést annál gyorsabban tudjuk előállítani. Célunk tehát az, hogy az előrejelzési feladatot olyan numerikus sémák segítségével oldjuk meg, melyek adott felbontás mellett a lehető legnagyobb időlépcső használatát engedik meg.

### XIII.5.2. Stabilitásvizsgálati módszerek

A továbbiakban két olyan stabilitásvizsgálati módszert tekintünk át, amelyek jól használhatók a különböző meteorológiai problémák megoldása során alkalmazott véges differencia sémák stabilitási és egyéb tulajdonságainak vizsgálatára.

#### Energia-módszer

Az energia-módszer lényege, hogy egy, a diszkrét feladathoz definiált pozitív definit mennyiségről megmutatjuk annak adott (pl.  $L_2$ -térbeli) norma szerinti korlátosságát. Amennyiben ez minden időlépcsőre teljesül, úgy a feladatban alkalmazott véges differencia séma stabil. A módszert azért nevezik energia-módszernek, mert a vizsgált mennyiség gyakran energiát reprezentál. Például az egydimenziós lineáris advekciós egyenlet esetében a diszkrét feladat által leírt rendszer energiája felírható a következő alakban (ahol  $j$  index a rácspontot,  $n$  az időlépést jelöli):

$$E_n = \frac{1}{2} \sum_j (\phi_{j,n})^2. \quad (\text{XIII.52.})$$

Ha  $\phi$  helyébe az áramlási sebességet helyettesítjük, akkor látható, hogy a fenti mennyiség a rendszer mozgási energiájával arányos. Az energia-módszer előnye, hogy nem-lineáris feladatok stabilitásának vizsgálatára is alkalmazható (Dévényi et al., 1998). Hátránya ugyanakkor, hogy bizonyos feladatoknál nehéz a stabilitási feltételt kinyerni a segítségével.

## Feladat

### [7. feladat:](#)

Tekintsük a  $\phi(x, t)$  mennyiségre vonatkozó

$$\frac{\partial \phi(x, t)}{\partial t} + c \frac{\partial \phi(x, t)}{\partial x} = 0 \quad (\text{XIII.53.})$$

egydimenziós lineáris advekción egyenletet, ahol  $c$  konstans advekción sebesség. Ha az időbeli derivált közelítésére a forward, a térbeli derivált közelítésére pedig a bal oldali sémát alkalmazzuk, akkor a következőt kapjuk:

$$\frac{\phi_{j,n+1} - \phi_{j,n}}{\Delta t} + c \frac{\phi_{j,n} - \phi_{j-1,n}}{\Delta x} = 0, \quad (\text{XIII.54.})$$

ahol a  $j$  index a  $j$ -edik rácspontot, az  $n$  index az  $n$ -edik időlépcsőt jelöli,  $\Delta t$  és  $\Delta x$  pedig az időlépcső hossza és a ráctávolság. Végezzük el (XIII.54) stabilitási analízisét az energia-módszer segítségével!

## Megoldás

### [7. feladat:](#)

Vezessük be  $\alpha = c \frac{\Delta t}{\Delta x}$ -et és rendezzük át (XIII.54.)-et a következő módon:

$$\phi_{j,n+1} - \phi_{j,n} = -\alpha \cdot (\phi_{j,n} - \phi_{j-1,n}). \quad (\text{XIII.55.})$$

(A sémát egyébként *upstream* vagy *upwind* sémának is nevezzük, mivel ha megfigyeljük,  $c > 0$  esetén a  $\phi_{j,n+1}$  meghatározásához csak abból a – jelen esetben bal oldali – térbeli irányból használunk fel rácspontokat, ahonnan az áramlás és azzal az információ érkezik. A *downstream* vagy *downwind* sémák esetében olyan rácspontok értékeit is felhasználjuk, melyek az áramlás irányába esnek, és ahonnan fizikailag nem történhetne információterjedés.)

Szorozzuk be mindkét oldalt  $(\phi_{j,n+1} + \phi_{j,n})$ -nel:

$$\phi_{j,n+1}^2 - \phi_{j,n}^2 = -\alpha \cdot (\phi_{j,n} - \phi_{j-1,n}) \cdot (\phi_{j,n+1} + \phi_{j,n}), \quad (\text{XIII.56.})$$

s a jobb oldalon helyettesítsünk  $\phi_{j,n+1}$  helyére  $\phi_{j,n+1} = \phi_{j,n} - \alpha \cdot (\phi_{j,n} - \phi_{j-1,n})$ -et:

$$\begin{aligned}
\phi_{j,n+1}^2 - \phi_{j,n}^2 &= -\alpha \cdot (\phi_{j,n} - \phi_{j-1,n}) \cdot [2\phi_{j,n} - \alpha \cdot (\phi_{j,n} - \phi_{j-1,n})] = \\
&= -2\alpha \cdot \phi_{j,n}^2 + 2\alpha \cdot \phi_{j,n} \cdot \phi_{j-1,n} + \alpha^2 \cdot (\phi_{j,n} - \phi_{j-1,n})^2 = \\
&= -\alpha \cdot (\phi_{j,n} - \phi_{j-1,n})^2 - \alpha \cdot \phi_{j,n}^2 + \alpha \cdot \phi_{j-1,n}^2 + \alpha^2 \cdot (\phi_{j,n} - \phi_{j-1,n})^2 = \\
&= -\alpha \cdot (\phi_{j,n}^2 - \phi_{j-1,n}^2) - \alpha(1-\alpha)(\phi_{j,n} - \phi_{j-1,n})^2.
\end{aligned} \tag{XIII.57.}$$

Összegezzük mindkét oldalt minden  $j$  rácspontra ( $J+1$  a rácspontok száma a tartományon):

$$\sum_{j=1}^{J+1} \phi_{j,n+1}^2 - \sum_{j=1}^{J+1} \phi_{j,n}^2 = -\sum_{j=2}^{J+1} \alpha \cdot (\phi_{j,n}^2 - \phi_{j-1,n}^2) - \sum_{j=2}^{J+1} \alpha(1-\alpha)(\phi_{j,n} - \phi_{j-1,n})^2. \tag{XIII.58.}$$

Vegyük észre, hogy a bal oldalon az  $(n+1)$ -edik és az  $n$ -edik időlépés energiájának különbsége áll! Továbbá a jobb oldali első tagban minden rácspontbeli érték kétszer szerepel, ellentétes előjellel, tehát az összegzésnél ez a tag eltűnik, amennyiben periodikus határfeltételeket tételezünk fel (azaz  $\phi_{1,n} = \phi_{N+1,n}$ ). A következő marad:

$$E_{n+1} - E_n = -\alpha(1-\alpha) \cdot \sum_{j=2}^{N+1} (\phi_{j,n} - \phi_{j-1,n})^2. \tag{XIII.59.}$$

Az energia-módszer értelmében a stabilitás szükséges feltétele, hogy a rendszer energiája korlátos maradjon, s ne növekedjen az idővel, azaz a fenti kifejezés nem lehet pozitív. Mivel az összegzésben szereplő négyzetösszegek mindig nem-negatívak, ezért az összegzés előtt álló együtthatónak szintén nem-negatívnak kell lennie, azaz:

$$\alpha(1-\alpha) \geq 0. \tag{XIII.60.}$$

Ez a feltétel akkor teljesül, ha érvényes a következő:

$$0 < \alpha = c \frac{\Delta t}{\Delta x} \leq 1 \rightarrow c > 0, \Delta t \leq \frac{\Delta x}{c}. \tag{XIII.61.}$$

Itt szükséges megjegyezni, hogy ha  $\alpha < 1$ , akkor a diszkrét feladatban az energia időlépésenként csökken (szemben a tényleges megoldás energiájával).

### Neumann-módszer

A Neumann-módszer lineáris (vagy linearizált) problémák numerikus stabilitásának vizsgálatára alkalmazható. A módszert az advekciós egyenlet példáján keresztül mutatjuk be. Tekintsük a  $\phi(x, t)$  mennyiségre vonatkozó egydimenziós lineáris advekciós egyenlet és az erre vonatkozó kezdeti feltétel által meghatározott Cauchy-feladatot:

$$\left\{ \begin{array}{l} \frac{\partial \phi(x, t)}{\partial t} + u_0 \cdot \frac{\partial \phi(x, t)}{\partial x} = 0, \quad x \in [0, L] \\ \phi(x, t = 0) = f(x) \rightarrow \text{kezdeti feltétel} \\ \phi(x = 0, t) = \phi(x = L, t) \rightarrow \text{periodikus határfeltételek} \end{array} \right. \quad (\text{XIII.62.})$$

ahol  $u_0$  a konstans advekción sebesség (az advekción sebesség jelölésénél a továbbiakban áttérünk az  $u_0$  használatára, mert a  $c$  változót másra fogjuk használni). A (XIII.62.) feladat analitikus megoldása ismert:

$$\phi(x, t) = \phi(x - u_0 \cdot t, 0) = f(x - u_0 \cdot t). \quad (\text{XIII.63.})$$

A lineáris differenciálegyenletek megoldása kifejezhető függvénysorok segítségével, a Neumann-módszer alkalmazásánál a kezdeti feltételt és a megoldást Fourier-sor alakban keressük (ezért a módszert Fourier-sor módszernek is nevezik). Ennek alapján tehát a kezdeti feltételt a következőképpen írhatjuk fel:

$$\phi(x, t = 0) = \sum_{k=1}^{\infty} c_k \cdot e^{ikx}, \quad (\text{XIII.64.})$$

ahol  $k$  az adott hullámhoz tartozó hullámszám,  $c_k$  az ahhoz tartozó együttható. Ennek a (XIII.63.) analitikus megoldásba való behelyettesítésével a (XIII.62.) folytonos feladat megoldása a következő alakot ölti:

$$\phi(x, t) = \sum_{k=1}^{\infty} c_k \cdot e^{ik(x - u_0 \cdot t)} = \sum_{k=1}^{\infty} \phi(x, 0) \cdot e^{ik \cdot (-u_0 \cdot t)}. \quad (\text{XIII.65.})$$

Látható, hogy a fenti kifejezés olyan megoldást ír le, ami az adott  $k$  hullámszámú hullámot  $u_0$  sebességgel  $x$  irányba advektálja anélkül, hogy annak kezdeti amplitúdóját megváltoztatná. Lineáris feladat esetében a Fourier-sor minden tagja megoldás, így elegendő egyetlen (jelen esetben a  $k$ -adik) Fourier-komponenst tekinteni. A kezdeti feltétel és a hozzá tartozó megoldás ekkor tehát egyetlen hullámot ír le:

$$\left. \begin{array}{l} \phi(x, t = 0) = c_k \cdot e^{ikx}, \\ \phi(x, t) = c_k \cdot e^{ik(x - c \cdot t)} = \phi(x, 0) \cdot e^{ik \cdot (-c \cdot t)}. \end{array} \right\} \quad (\text{XIII.66.})$$

Tekintsük most a (XIII.62.) feladathoz konstruált diszkrét feladatot, amelyben a térbeli és az időbeli deriváltak közelítésére különböző véges differencia sémákat alkalmazunk. A diszkrét feladat kezdeti feltétele a folytonos feladattal analóg módon írható fel:

$$\phi(x_j, t = 0) = \phi_{j,0} = \sum_{k=1}^{\infty} c_k \cdot e^{ikx_j}, \quad (\text{XIII.67.})$$

ahol a  $j$  index a  $j$ -edik rácspontot, az időre vonatkozó 0 index pedig a kezdeti időpontot jelöli. A kezdeti feltétel ismeretében a diszkrét feladat megoldása adott rácspontban és időlépésben a következőképpen adható meg:

$$\phi(x_j, t_n) = \phi_{j,n} = \sum_{k=1}^{\infty} \lambda_k^n \cdot c_k \cdot e^{ikx_j}, \quad (\text{XIII.68.})$$

ahol  $\lambda$  a  $k$  hullámhoz tartozó és a numerikus sémától függő komplex-értékű, amplitúdó-jellegű mennyiség, a  $j$  index az adott rácspontot, az  $n$  kitevő pedig az adott időlépést jelöli. A diszkrét feladat esetében is igaz, hogy lineáris esetben a Fourier-sor minden tagja megoldása a feladatnak, s elegendő egyetlen hullámmóduszra vizsgálni:

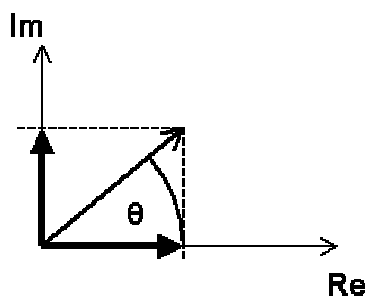
$$\begin{aligned} \phi_{j,0} &= c_k \cdot e^{ikx_j}, \\ \phi_{j,n} &= \lambda_k^n \cdot c_k \cdot e^{ikx_j}. \end{aligned} \quad (\text{XIII.69.})$$

A fenti összefüggésben tehát a numerikus megoldás úgy áll elő, hogy a kezdeti feltétel minden időlépésben egy amplitúdó-jellegű mennyiséggel szorzódik. Könnyen belátható, hogy ahhoz, hogy a megoldás korlátos maradjon, szükséges, hogy  $|\lambda_k|$  ne legyen nagyobb 1-nél – ez a stabilitás (és a konvergencia) szükséges feltétele. (Említettük, hogy a stabilitás elégséges feltételét nehéz meghatározni, ezért általában csupán a szükséges feltétel teljesülését vizsgálják.) Amennyiben  $|\lambda_k| > 1$ , úgy a kezdeti feltételt leíró hullám minden időlépésben gerjesztődik és a diszkrét feladat nem lesz stabil. Ha  $|\lambda_k| < 1$ , akkor a véges differencia séma fiktív csillapítást vezet be, azaz a kezdeti feltételhez tartozó hullámmegoldás az idővel folyamatosan csillapodik, szélsőséges esetben bizonyos (különösen a rövid hullámhosszú) hullámok teljesen el is tűnhetnek. Ideálisan  $|\lambda_k|$  pontosan 1-gyel egyenlő, akkor a véges differencia séma nem változtatja meg a kezdeti feltételt leíró hullámot.

A hullám-megoldás amplitúdóján kívül a véges differencia séma a folytonos feladatban jellemző  $u_0$  fázissebességet is módosíthatja: gyorsíthatja illetve lassíthatja azt. A diszkrét feladatbeli fázissebesség megadásához először is tekintsük a  $\lambda_k$  komplex mennyiséget következő alakban:

$$\lambda_k = |\lambda_k| \cdot e^{i\theta}, \quad (\text{XIII.70.})$$

ahol  $\theta$  a  $\lambda_k$  képzetes és valós része által bezárt szög (XIII.4. ábra)!



XIII.4. ábra. A  $\lambda_k$  valós és képzetes része által bezárt szög.

Ekkor a diszkrét feladat megoldása az alábbi módon írható fel:

$$\phi_{j,n} = (\lambda_k)^n \cdot c_k \cdot e^{ikx_j} = |\lambda_k|^n \cdot c_k \cdot e^{ik(x_j + n\theta/k)}. \quad (\text{XIII.71.})$$

A folytonos feladat analógiájára a fázissebesség a diszkrét feladatban:

$$c' = -\frac{n \cdot \theta}{k \cdot n \cdot \Delta t} = -\frac{\theta}{k \Delta t}. \quad (\text{XIII.72.})$$

A fázishiba megmutatja, hogy a folytonos feladatbeli  $u_0$  és a diszkrét feladatbeli  $c'$  fázissebességek hogyan viszonyulnak egymáshoz:

$$R = \frac{c'}{u_0}. \quad (\text{XIII.73.})$$

Amennyiben  $R > 1$ , a véges differencia séma gyorsítja a folytonos feladatbeli  $k$  hullámot; ha  $R < 1$ , akkor a séma lassítja a  $k$  hullámot; s ha  $R = 1$ , akkor a séma nem változtatja meg a hullám fázissebességét. Bár az utóbbi eset tűnik ideálisnak, mégis alkalmasan megválasztott véges differencia séma esetében bizonyos hullámok „lassúbbá torzítása” előnyös is lehet (Radnóti, 2003). Tekintsünk például egy olyan feladatot, amelynek a meteorológiai szempontból kevésbé releváns gyorsan terjedő gravitációs hullámok is megoldásai! Ha erre explicit véges differencia sémát alkalmazunk, amely a hullámok fázissebességét lényegesen nem változtatja meg, akkor meglehetősen szigorú feltételt kell a numerikus stabilitás teljesítéséhez kielégíteni, amiben a vezető tag a feladat által leírt leggyorsabban terjedő mozgásforma (jelen esetben a gravitációs hullámok) fázissebessége. Implicit séma alkalmazásával azonban egy kedvezőbb feltétel nyerhető vagy éppen feltétel nélküli stabilitással tudunk dolgozni, mégpedig azáltal, hogy az implicit séma ezeknek a hullámoknak a fázissebességét csökkenti. A megoldás fizikai értelmezésénél ez nem okoz problémát, mert amint már említettük, ezek a hullámok a meteorológiai folyamatok szempontjából nem lényegesek, viszont a gyorsan terjedő hullámok lassításával stabilizálható a feladat ezekért felelős része.

### Összefoglalva

A véges differencia séma a  $k$  hullámszámú hullámra

- stabil, ha  $|\lambda_k| \leq 1$ ,
- instabil, ha  $|\lambda_k| > 1$ .

A véges differencia séma a  $k$  hullámszámú hullámra

- neutrális, ha  $|\lambda_k| = 1$ ,
- fiktív csillapítást vezet be, ha  $|\lambda_k| < 1$ ,
- gerjesztést vezet be, ha  $|\lambda_k| > 1$ .

A véges differencia séma a  $k$  hullámszámú hullám fázissebességét

- nem változtatja meg, ha  $R=1$ ,
- lassítja, ha  $R < 1$ ,
- gyorsítja, ha  $R > 1$ .



## Feladatok

### [8. feladat:](#)

Lássuk be a Neumann stabilitásvizsgálati módszer alkalmazásával, hogy a  $\phi(x, t)$  mennyiségre vonatkozó

$$\frac{\partial \phi(x, t)}{\partial t} + u_0 \cdot \frac{\partial \phi(x, t)}{\partial x} = 0 \quad (\text{XIII.74.})$$

egydimenziós lineáris advekción egyenlet időbeli és a térbeli deriváltjainak közelítésére használt forward illetve centrált sémák alkalmazása esetén a

$$\frac{\phi_{j,n+1} - \phi_{j,n}}{\Delta t} + u_0 \cdot \frac{\phi_{j+1,n} - \phi_{j-1,n}}{2\Delta x} = 0 \quad (\text{XIII.75.})$$

diszkrét feladat **abszolút instabil** (a  $j$  index a  $j$ -edik rácspontot, az  $n$  index az  $n$ -edik időlépcsőt jelöli,  $\Delta t$  és  $\Delta x$  pedig az időlépcső hossza és a ráctávolság)!

### [9. feladat:](#)

Lássuk be a Neumann stabilitásvizsgálati módszer alkalmazásával, hogy a  $\phi(x, t)$  mennyiségre vonatkozó (XIII.74.) egydimenziós lineáris advekción egyenlet időbeli deriváltjának közelítésére a forward séma, illetve térbeli deriváltjának közelítésére két időszintbeli centrált séma átlagának (azaz a hatpontos Crank-Nicholson séma) alkalmazása esetén a

$$\frac{\phi_{j,n+1} - \phi_{j,n}}{\Delta t} + u_0 \cdot \frac{\frac{\phi_{j+1,n} - \phi_{j-1,n}}{2\Delta x} + \frac{\phi_{j+1,n+1} - \phi_{j-1,n+1}}{2\Delta x}}{2} = 0 \quad (\text{XIII.76.})$$

diszkrét feladat **feltétel nélkül stabil** (a  $j$  index a  $j$ -edik rácspontot, az  $n$  index az  $n$ -edik időlépcsőt jelöli,  $\Delta t$  és  $\Delta x$  pedig az időlépcső hossza és a ráctávolság)!

### [10. feladat:](#)

Adjuk meg a Crank-Nicholson sémával diszkrétizált (XIII.76.) egyenletben érvényes fázissebességet! Értelmezzük az eredményt, összehasonlítva a (XIII.74.) folytonos feladatbeli fázissebességgel!

### [11. feladat:](#)

Lássuk be, hogy a  $\phi(x, t)$  mennyiségre vonatkozó (XIII.74.) egydimenziós lineáris advekción egyenlet időbeli és térbeli deriváltjainak közelítésére használt leapfrog illetve centrált sémák esetén a

$$\frac{\phi_{j,n+1} - \phi_{j,n-1}}{2\Delta t} + u_0 \cdot \frac{\phi_{j+1,n} - \phi_{j-1,n}}{2\Delta x} = 0 \quad (\text{XIII.77.})$$

diszkrét feladatból (a  $j$  index a  $j$ -edik rácspontot, az  $n$  index az  $n$ -edik időlépcsőt jelöli,  $\Delta t$  és  $\Delta x$  pedig az időlépcső hossza és a rácstávolság) a Neumann stabilitásvizsgálati módszer alkalmazásával a következő adódik:

$$\lambda_k^2 + 2 \cdot i \cdot \alpha \cdot \sin(k\Delta x) \cdot \lambda_k - 1 = 0, \quad (\text{XIII.78.})$$

ahol  $\alpha = u_0 \frac{\Delta t}{\Delta x}$  ! Értelmezzük az eredményt!

### 12. feladat:

Lássuk be, hogy az  $u(x,t)$  zonális sebességre és a  $h(x,t)$  hullámmagasságra vonatkozó

$$\begin{cases} \frac{\partial u(x,t)}{\partial t} + g \frac{\partial h(x,t)}{\partial x} = 0 \\ \frac{\partial h(x,t)}{\partial t} + H \frac{\partial u(x,t)}{\partial x} = 0 \end{cases} \quad (\text{XIII.79.})$$

egydimenziós lineáris gravitációs hullám egyenlet időbeli és térbeli deriváltjainak közelítésére használt leapfrog illetve centrált sémák esetén a

$$\begin{cases} \frac{u_{j,n+1} - u_{j,n-1}}{2\Delta t} + g \frac{h_{j+1,n} - h_{j-1,n}}{2\Delta x} = 0 \\ \frac{h_{j,n+1} - h_{j,n-1}}{2\Delta t} + H \frac{u_{j+1,n} - u_{j-1,n}}{2\Delta x} = 0 \end{cases} \quad (\text{XIII.80.})$$

diszkrét feladatra [ahol  $g$  a gravitációs gyorsulás,  $H$  a folyadék átlagos magassága (vagy mélysége; pl. az óceán vagy a légkör esetében), a  $j$  index a  $j$ -edik rácspontot, az  $n$  index az  $n$ -edik időlépcsőt jelöli,  $\Delta t$  és  $\Delta x$  pedig az időlépcső hossza és a rácstávolság] a Neumann stabilitásvizsgálati módszer alkalmazásával a következő stabilitási kritérium adódik:

$$\Delta t \leq \frac{\Delta x}{\sqrt{g \cdot H}}. \quad (\text{XIII.81.})$$

Értelmezzük az eredményt!

### **Megoldások**

#### 8. feladat:

A Neumann-módszer alkalmazásával a diszkrét megoldást adott rácspontban és időlépcsőben az alábbi alakban írjuk fel:

$$\phi_{j,n} = \lambda_k^n \cdot c_k \cdot e^{ikx_j}, \quad (\text{XIII.82.})$$

ahol  $\lambda$  komplex-értékű szám,  $k$  az adott hullámhoz tartozó hullámszám,  $c_k$  a hullámhoz tartozó együttható, a  $j$  index az adott rácspontot, az  $n$  kitevő pedig az adott időlépést jelöli. Ezt behelyettesítve a (XIII.75.) egyenletbe, a következőt kapjuk:

$$\frac{\lambda_k^{n+1} \cdot c_k \cdot e^{ikx_j} - \lambda_k^n \cdot c_k \cdot e^{ikx_j}}{\Delta t} + u_0 \cdot \frac{\lambda_k^n \cdot c_k \cdot e^{ikx_{j+1}} - \lambda_k^n \cdot c_k \cdot e^{ikx_{j-1}}}{2\Delta x} = 0. \quad (\text{XIII.83.})$$

Egyszerűsítve  $\lambda_k^n \cdot c_k$ -val és bevezetve az  $\alpha = u_0 \frac{\Delta t}{\Delta x}$  mennyiséget:

$$\lambda_k \cdot e^{ikx_j} - e^{ikx_j} + \frac{\alpha}{2} \left( e^{ikx_{j+1}} - e^{ikx_{j-1}} \right) = 0. \quad (\text{XIII.84.})$$

Ezt elosztva  $e^{ikx_j}$ -vel és kihasználva, hogy  $x_{j\pm 1} = (j \pm 1) \cdot \Delta x$ :

$$\lambda_k - 1 + \frac{\alpha}{2} \left( e^{ik\Delta x} - e^{-ik\Delta x} \right) = 0. \quad (\text{XIII.85.})$$

Felismerve a zárójelben szereplő Euler-formulát, kapjuk az alábbi:

$$\lambda_k - 1 + \frac{\alpha}{2} \cdot 2 \cdot i \cdot \sin(k\Delta x) = 0 \rightarrow \lambda_k = 1 - \alpha \cdot i \cdot \sin(k\Delta x). \quad (\text{XIII.86.})$$

Az  $a = x + i \cdot y$  komplex szám abszolútértékének négyzete  $|a|^2 = a \cdot \bar{a} = x^2 + y^2$ , ennek ismeretében a  $\lambda_k$  abszolútértékének négyzete:

$$|\lambda_k|^2 = 1 + \alpha^2 \cdot \sin^2(k\Delta x). \quad (\text{XIII.87.})$$

Mivel mind az  $\alpha$ , mind a  $\sin^2$  függvény pozitív értékűek, ezért a  $|\lambda_k|^2$  minden esetben 1-nél nagyobb értéket vesz fel. **Azaz a Neumann-módszer stabilitási kritériumából következően a két séma együttes alkalmazásával nem tudunk olyan időlépcsőt választani, amellyel a diszkrét feladat stabil lesz.**

### 9. feladat:

A Neumann-módszert (1. a [8. feladat](#)nál) alkalmazva a (XIII.76.) egyenletre, a következőt kapjuk:

$$\frac{\lambda_k^{n+1} \cdot c_k \cdot e^{ikx_j} - \lambda_k^n \cdot c_k \cdot e^{ikx_j}}{\Delta t} + \frac{u_0}{2} \left( \lambda_k^n \cdot c_k \frac{e^{ikx_{j+1}} - e^{ikx_{j-1}}}{2\Delta x} + \lambda_k^{n+1} \cdot c_k \frac{e^{ikx_{j+1}} - e^{ikx_{j-1}}}{2\Delta x} \right) = 0. \quad (\text{XIII.88.})$$

Egyszerűsítve  $\lambda_k^n \cdot c_k \cdot e^{ikx_j}$ -vel és bevezetve az  $\alpha = u_0 \frac{\Delta t}{\Delta x}$  mennyiséget:

$$\lambda_k - 1 + \frac{\alpha}{4}(1 + \lambda_k) \cdot (e^{ik\Delta x} - e^{-ik\Delta x}) = 0. \quad (\text{XIII.89.})$$

Felismerve a zárójelben szereplő Euler-formulát, kapjuk az alábbi:

$$\lambda_k - 1 + \frac{\alpha}{2} \cdot (1 + \lambda_k) \cdot i \cdot \sin(k\Delta x) = 0. \quad (\text{XIII.90.})$$

Ebből kifejezve  $\lambda_k$ -t:

$$\lambda_k = \frac{1 - \frac{\alpha}{2} \cdot i \cdot \sin(k\Delta x)}{1 + \frac{\alpha}{2} \cdot i \cdot \sin(k\Delta x)}. \quad (\text{XIII.91.})$$

Tovább alakítva ezt a kifejezést és kihasználva, hogy  $i^2 = -1$ :

$$\lambda_k = \frac{1 - \frac{\alpha}{2} \cdot i \cdot \sin(k\Delta x)}{1 + \frac{\alpha}{2} \cdot i \cdot \sin(k\Delta x)} \cdot \frac{1 - \frac{\alpha}{2} \cdot i \cdot \sin(k\Delta x)}{1 - \frac{\alpha}{2} \cdot i \cdot \sin(k\Delta x)} = \frac{1 - \frac{\alpha^2}{4} \cdot \sin^2(k\Delta x) - \alpha \cdot i \cdot \sin(k\Delta x)}{1 + \frac{\alpha^2}{4} \cdot \sin^2(k\Delta x)}. \quad (\text{XIII.92.})$$

Ebből a  $\lambda_k$  komplex mennyiség abszolútértékének négyzetét kifejezve:

$$|\lambda_k|^2 = \frac{\left[1 - \frac{\alpha^2}{4} \sin^2(k\Delta x)\right]^2 + \alpha^2 \cdot \sin^2(k\Delta x)}{\left[1 + \frac{\alpha^2}{4} \sin^2(k\Delta x)\right]^2} = \frac{1 + \frac{\alpha^4}{16} \sin^2(k\Delta x) + \frac{\alpha^2}{2} \sin^2(k\Delta x)}{\left[1 + \frac{\alpha^2}{4} \sin^2(k\Delta x)\right]^2} = 1. \quad (\text{XIII.93.})$$

Megállapíthatjuk tehát, hogy az egydimenziós lineáris advekción alkalmazott **implicit séma feltétel nélkül stabil lesz** (azaz adott horizontális felbontáshoz bármekkora időlépcsőt választhatunk), ráadásul **a kezdeti hullámok amplitúdója nem változik** (nem nő – gerjesztődik – vagy csökken – csillapodik) **az idővel**. A séma hátránya ugyanakkor, hogy jelentős fázishibát okoz (l. a [10. feladat](#)ot is), illetve gyakorlati megvalósítása – az implicit tulajdonsága miatt – bonyolult.

### 10. feladat:

A diszkrét feladatbeli fázissebesség kifejezéséhez tekintsük  $\lambda_k$ -ra a  $\lambda_k = |\lambda_k| \cdot e^{i\theta}$  alakot és használjuk fel a (XIII.92.) összefüggést:

$$\operatorname{tg} \theta = \frac{\operatorname{Im} \lambda_k}{\operatorname{Re} \lambda_k} = \frac{-\alpha \cdot \sin(k\Delta x)}{1 - \frac{\alpha^2}{4} \cdot \sin^2(k\Delta x)} \rightarrow \theta = \operatorname{arctg} \frac{-\alpha \cdot \sin(k\Delta x)}{1 - \frac{\alpha^2}{4} \cdot \sin^2(k\Delta x)}. \quad (\text{XIII.94.})$$

Ebből a diszkrét feladatbeli fázissebesség:

$$c' = -\frac{\theta}{k\Delta t} = \frac{1}{k\Delta t} \operatorname{arctg} \frac{\alpha \cdot \sin(k\Delta x)}{1 - \frac{\alpha^2}{4} \cdot \sin^2(k\Delta x)}. \quad (\text{XIII.95.})$$

A fenti kifejezés tovább alakítható, ha kihasználjuk az  $\operatorname{arctg}(x) + \operatorname{arctg}(y) = \operatorname{arctg} \frac{x+y}{1-xy}$  összefüggést, melyben jelen esetben  $x = y = \frac{\alpha}{2} \sin(k\Delta x)$ . Ekkor a fázissebességre a következő adódik:

$$c' = \frac{2}{k\Delta t} \operatorname{arctg} \frac{\alpha \cdot \sin(k\Delta x)}{2}. \quad (\text{XIII.96.})$$

Az eredményt megvizsgálva láthatjuk, hogy a folytonos feladatbeli fázissebesség növekedése ( $u_0 \rightarrow \infty$ , azaz  $\alpha \rightarrow \infty$ ) esetén a diszkrét feladatbeli  $c'$  fázissebesség korlátos marad (az  $\operatorname{arctg}$ -függvény felülről korlátos  $\pi/2$ -vel). Azaz **az implicit séma lassítja a gyorsan terjedő hullám-megoldásokat**, ezáltal ezek kielégítik a CFL-kritériumot, s így tudja a séma a feltétel nélküli stabilitást garantálni.

### 11. feladat:

A Neumann-módszert (l. a [8. feladat](#)nál) alkalmazva a (XIII.77.) egyenletre, a következőt kapjuk:

$$\frac{\lambda_k^{n+1} \cdot c_k \cdot e^{ikx_j} - \lambda_k^{n-1} \cdot c_k \cdot e^{ikx_j}}{2\Delta t} + u_0 \cdot \lambda_k^n \cdot c_k \frac{e^{ikx_{j+1}} - e^{ikx_{j-1}}}{2\Delta x} = 0. \quad (\text{XIII.97.})$$

Egyszerűsítve  $\lambda_k^{n-1} \cdot c_k \cdot e^{ikx_j}$ -vel és bevezetve az  $\alpha = u_0 \frac{\Delta t}{\Delta x}$  mennyiséget:

$$\lambda_k^2 - 1 + \alpha \cdot \lambda_k \cdot (e^{ik\Delta x} - e^{-ik\Delta x}) = 0. \quad (\text{XIII.98.})$$

Felismerve a zárójelben szereplő Euler-formulát, kapjuk az alábbi:

$$\lambda_k^2 + \alpha \cdot \lambda_k \cdot 2i \cdot \sin(k\Delta x) - 1 = 0. \quad (\text{XIII.99.})$$

Amiatt, hogy a leapfrog séma nem kettő, hanem három időszintet használ, (XIII.99.)-cel  $\lambda_k$ -ra másodfokú egyenletet kaptunk, aminek két megoldása van. Ha alkalmazzuk a másodfokú

egyenlet megoldó-képletét, és bevezetjük  $p = \alpha \cdot \sin(k\Delta x)$ -et, akkor  $\lambda_k$ -ra a következő két megoldás (módusz) adódik:

$$\lambda_{k1,2} = -i \cdot p \pm \sqrt{1 - p^2}. \quad (\text{XIII.100.})$$

Ha  $\alpha > 1$ , akkor lesz olyan hullámszám, amire  $p > 1$  és ebben az esetben a gyökjel alatt lévő mennyiség negatív. Ekkor a  $\lambda_k$  tisztán képzetes, s  $|\lambda_k|^2$  az egyik gyökre mindenképpen 1-nél nagyobb. Viszont ha  $\alpha \leq 1$ , azaz  $\Delta t \leq \frac{\Delta x}{u_0}$ , akkor  $|\lambda_k|^2 = p^2 + 1 - p^2 = 1$ , tehát a séma neutrálisan stabil. **Neutralitása, valamint másodrendű pontossága miatt ez az explicit séma kedvelt a meteorológiában annak ellenére, hogy a három időszint használata a korábban már bemutatott hátrányokkal jár.**

## 12. feladat:

A Neumann-módszert (l. a [8. feladat](#)nál) alkalmazva a megoldást a következő alakban keressük:

$$\begin{aligned} u_{j,n} &= \bar{u} \cdot \lambda_k^n \cdot e^{ikx_j}, \\ h_{j,n} &= \bar{h} \cdot \lambda_k^n \cdot e^{ikx_j}, \end{aligned} \quad (\text{XIII.101.})$$

ahol  $\bar{u}$ ,  $\bar{h}$  a  $k$  hullámszámhoz tartozó együtthatók. Behelyettesítve (XIII.101.)-et a (XIII.80.) egyenletbe, a következőt kapjuk:

$$\begin{cases} \frac{\lambda_k^{n+1} \cdot \bar{u} \cdot e^{ikx_j} - \lambda_k^{n-1} \cdot \bar{u} \cdot e^{ikx_j}}{2\Delta t} + g \frac{\lambda_k^n \cdot \bar{h} \cdot e^{ikx_{j+1}} - \lambda_k^n \cdot \bar{h} \cdot e^{ikx_{j-1}}}{2\Delta x} = 0 \\ \frac{\lambda_k^{n+1} \cdot \bar{h} \cdot e^{ikx_j} - \lambda_k^{n-1} \cdot \bar{h} \cdot e^{ikx_j}}{2\Delta t} + H \frac{\lambda_k^n \cdot \bar{u} \cdot e^{ikx_{j+1}} - \lambda_k^n \cdot \bar{u} \cdot e^{ikx_{j-1}}}{2\Delta x} = 0. \end{cases} \quad (\text{XIII.102.})$$

Ha az  $\bar{u}$ ,  $\bar{h}$  együtthatókat úgy választjuk meg, hogy eleget tegyenek az alábbiak:

$$\frac{\bar{h}}{\bar{u}} = \sqrt{\frac{H}{g}}, \quad (\text{XIII.103.})$$

akkor a (XIII.102)-beli két csatolt egyenlet egy egyenletre redukálódik, mégpedig:

$$\frac{\lambda_k^{n+1} \cdot e^{ikx_j} - \lambda_k^{n-1} \cdot e^{ikx_j}}{2\Delta t} + \sqrt{gH} \cdot \frac{\lambda_k^n \cdot e^{ikx_{j+1}} - \lambda_k^n \cdot e^{ikx_{j-1}}}{2\Delta x} = 0. \quad (\text{XIII.104.})$$

Vegyük észre, hogy ez az egyenlet annyiban tér el a [11. feladat](#)beli (XIII.97.)-től, hogy az  $u_0$  advekción sebesség helyett  $\sqrt{gH}$  szerepel benne! Ez pedig nem más, mint a gravitációs hullám terjedési sebessége, ugyanis a (XIII.79.) feladat átírható a következő módon:

$$\frac{\partial}{\partial t} \begin{pmatrix} u \\ h \end{pmatrix} = \begin{bmatrix} 0 & -g \\ -H & 0 \end{bmatrix} \cdot \frac{\partial}{\partial x} \begin{pmatrix} u \\ h \end{pmatrix}, \quad (\text{XIII.105.})$$

ahol a jobb oldalon szereplő mátrix sajátértéke  $\pm\sqrt{gH}$ , azaz a  $k$  hullámszámhoz két, ellentétes irányban  $\sqrt{gH}$  fázissebességgel haladó hullám tartozik. Az egyszerűsítéseket elvégezve (XIII.104.)-en a következőket kapjuk:

$$\begin{aligned} \lambda_k^2 + \alpha \cdot \lambda_k \cdot 2i \cdot \sin(k\Delta x) - 1 &= 0, \\ \lambda_{k1,2} &= -i \cdot p \pm \sqrt{1 - p^2}, \end{aligned} \quad (\text{XIII.106.})$$

ahol  $p = \alpha \cdot \sin(k\Delta x)$  és  $\alpha = \sqrt{gH} \frac{\Delta t}{\Delta x}$ . A [11. feladattal](#) analóg módon tehát a stabilitási kritérium ebben az esetben a következőképpen alakul:

$$\alpha \leq 1 \rightarrow \Delta t \leq \frac{\Delta x}{\sqrt{gH}}. \quad (\text{XIII.107.})$$

Ez azt jelenti, hogy az egydimenziós lineáris gravitációs hullám-egyenlet diszkretizációjára a leapfrog és a centrált sémákat használva, az adott felbontás esetén alkalmazható **időlépcső hosszára a gravitációs hullám terjedési sebessége szab korlátot**. A tropopauza átlagos magasságát ( $H$ -t) 10 km-nek, a gravitációs gyorsulás ( $g$ ) átlagos értékét  $10 \text{ m s}^{-2}$ -nak véve, ez a sebesség  $300 \text{ m s}^{-1}$  nagyságúnak adódik, s így a 10 km-es rácsfelbontásnál alkalmazható időlépcső nem nagyon haladhatja meg a 30 másodpercet. Ezzel szemben a [11. feladat](#)ban szereplő advekción sebesség még a nagy magasságokban sem nagyobb  $100 \text{ m s}^{-1}$ -nál, ekkor az integrálási időlépcső 10 km-es felbontás mellett 100 s is lehet. Látható tehát, hogy a most kapott (XIII.107.) stabilitási kritérium **szigorúbb korlátot jelent** az időlépcső hosszára, mint amit az advekción egyenlet esetében kaptunk. Azaz egy olyan feladatban, amely a gravitációs hullámok terjedését is leírja, adott felbontáshoz rövidebb integrálási időlépcsőt tudunk csak alkalmazni (az integrálást több kisebb lépésben kell elvégeznünk), hogy a feladat numerikus stabilitása megmaradjon.

### XIII.6. Hatékony numerikus sémák

Az előző alfejezetben az egydimenziós lineáris advekciós valamint lineáris gravitációs hullám egyenletekre vizsgáltuk meg a különböző véges differencia sémák numerikus stabilitását. Láttuk, hogy az explicit sémák alkalmazásával a numerikus stabilitás csak akkor teljesülhet, ha eleget teszünk a CFL-kritériumnak – azaz ha az integrálási időlépcső megválasztásánál tekintettel vagyunk a térbeli felbontás és a feladat által leírt leggyorsabban terjedő mozgásforma sebességének a hányadosára. (Ugyanakkor a [8. feladat](#)ban mutattunk példát olyan explicit véges differencia sémára is, amelynél a stabilitás még a CFL-feltétel betartásával sem garantálható.) Ezenkívül megállapítottuk, hogy az implicit sémák esetében tetszőlegesen hosszú időlépcső választható (l. a [9. feladat](#)ot), mégpedig azért, mert az implicit sémák a feladatban érvényes fázissebességet lassítják (l. a [10. feladat](#)ot), s ezáltal a gyorsan terjedő hullám-megoldásokra is stabil megoldást biztosítanak. Az általuk okozott fázishiba ugyanakkor nem minden hullám esetében kívánatos, ezért, valamint bonyolult megvalósításuk miatt a meteorológiai gyakorlatban nem alkalmaznak tisztán implicit sémákat.

A meteorológiai előrejelzések készítésénél a számítási műveletek és az adatok rendkívüli mennyisége miatt az alkalmazott numerikus módszerek pontossága mellett elsődleges szempont azok hatékonysága. Tehát **a cél olyan diszkretizációs módszerek alkalmazása, melyekkel a numerikus stabilitás tetszőlegesen hosszú integrálási időlépcső használata mellett sem sérül.** A továbbiakban az előrejelzési feladatot reálisabban közelítő, advekciós és gravitációs hullám tagokat egyaránt tartalmazó egyenleteken fogjuk bemutatni azokat a numerikus sémákat, melyekkel ez teljesül és ezért a gyakorlatban is elterjedtek.

Tekintsük a következő egydimenziós lineáris egyenletrendszert az  $u(x, t)$  zonális sebességre és a  $h(x, t)$  hullámmagasságra vonatkozóan:

$$\begin{cases} \frac{\partial u(x, t)}{\partial t} + u_0 \cdot \frac{\partial u(x, t)}{\partial x} + g \frac{\partial h(x, t)}{\partial x} = 0 \\ \frac{\partial h(x, t)}{\partial t} + u_0 \cdot \frac{\partial h(x, t)}{\partial x} + H \frac{\partial u(x, t)}{\partial x} = 0, \end{cases} \quad (\text{XIII.108.})$$

melyben az egyenletek középső tagjai a (lineáris) advekciót, az utolsó tagok pedig a (szintén lineáris) gravitációs hullámokat reprezentálják. A [11–12. feladat](#) alapján a Neumann stabilitásvizsgálati módszer segítségével levezethető, hogy ha az időbeli deriváltak közelítésére a leapfrog, a térbeli deriváltak közelítésére a centrált sémát alkalmazzuk, akkor a diszkrét feladatra a stabilitás szükséges feltétele a következő lesz:

$$\Delta t \leq \frac{\Delta x}{u_0 + \sqrt{gH}}. \quad (\text{XIII.109.})$$

Tehát a fenti explicit sémát használva (XIII.108.)-ra, az adott felbontás esetén alkalmazható időlépcső hosszára az advekció és a gravitációs hullám terjedési sebességének összege szab korlátot. Mivel az előzőekben láttuk, hogy utóbbi lényegesen nagyobb az előbbinél, ezért kijelenthetjük, hogy a stabilitás szükséges feltételénél gyakorlatilag a gravitációs hullámok terjedési sebessége a meghatározó.

#### XIII.6.1. Szemi-implicit séma

Alkalmazzunk most (XIII.108.)-ra olyan ún. *szemi-implicit* diszkretizációt, ami az advekciós tagok esetében megtartja az explicit sémát, a gravitációs hullám tagokat viszont implicit mó-



don kezeli (Robert, 1981). Például a második tagok esetében az explicit középponti sémát használjuk, a harmadik tagok esetében pedig centrált sémák átlagát vesszük két időszintre a korábban már látott módon:

$$\begin{cases} \frac{u_{j,n+1} - u_{j,n-1}}{2\Delta t} + u_0 \frac{u_{j+1,n} - u_{j-1,n}}{2\Delta x} + g \frac{\frac{h_{j+1,n} - h_{j-1,n}}{2\Delta x} + \frac{h_{j+1,n+1} - h_{j-1,n+1}}{2\Delta x}}{2} = 0 \\ \frac{h_{j,n+1} - h_{j,n-1}}{2\Delta t} + u_0 \frac{h_{j+1,n} - h_{j-1,n}}{2\Delta x} + H \frac{\frac{u_{j+1,n} - u_{j-1,n}}{2\Delta x} + \frac{u_{j+1,n+1} - u_{j-1,n+1}}{2\Delta x}}{2} = 0. \end{cases} \quad (\text{XIII.110.})$$

A Neumann-módszer segítségével belátható, hogy a szemi-implicit módszer alkalmazása esetén a következő adódik:

$$u_0^2 \cdot \Delta t^2 \leq \Delta x^2 + gH \cdot \Delta t^2, \quad (\text{XIII.111.})$$

ez pedig minden esetben teljesül, amikor az advekción egyenletnél kapott stabilitási feltétel teljesül, azaz amikor:

$$\Delta t \leq \frac{\Delta x}{u_0}. \quad (\text{XIII.112.})$$

Tehát a szemi-implicit módszer alkalmazásával elértük, hogy ne a feladat által leírt leggyorsabban terjedő mozgásforma, azaz a gravitációs hullámok terjedési sebessége legyen a meghatározó az időlépcső megválasztásánál, hanem az annál jóval kisebb advekción sebesség, lehetővé téve a nagyobb időlépésekben történő stabil modellintegrálást.

A szemi-implicit séma szépsége abban áll, hogy az implicit kezelést az egyenlet lineáris részére alkalmazza, s ezek a tagok felelősek egyben azokért a hullám-megoldásokért, melyek gyorsan terjednek, de jelentőségük meteorológiai szempontból kicsi. Az implicit módszer ezeket a hullámokat lelassítja, ezáltal stabilizálva a feladat lineáris részét és érintetlenül hagyva a meteorológiailag releváns, lassúbb mozgásformákat. Általánosan a szemi-implicit módszer a következő alakban írható fel:

$$\frac{\partial \Psi^0}{\partial t} = L \left( \frac{\Psi^+ + \Psi^-}{2} \right) + N(\Psi^0), \quad (\text{XIII.113.})$$

ahol a teljes nem-lineáris modellt linearizáljuk egy referencia-állapot körül, ami legtöbbször az izoterm, nyugvó légkör (ez gyakran távol esik a valós légköri állapottól): az  $L$  operátor a modell linearizált része, az  $N$  operátor a nem-lineáris maradéktag. A  $0, +, -$  indexek pedig az aktuális, a későbbi és a korábbi időlépcsőket reprezentálják, jelölve, hogy **a szemi-implicit módszerben a linearizált tagokra implicit kezelést, a nem-lineáris tagokra explicit kezelést alkalmazunk.**

### XIII.6.2. Szemi-Lagrange módszer

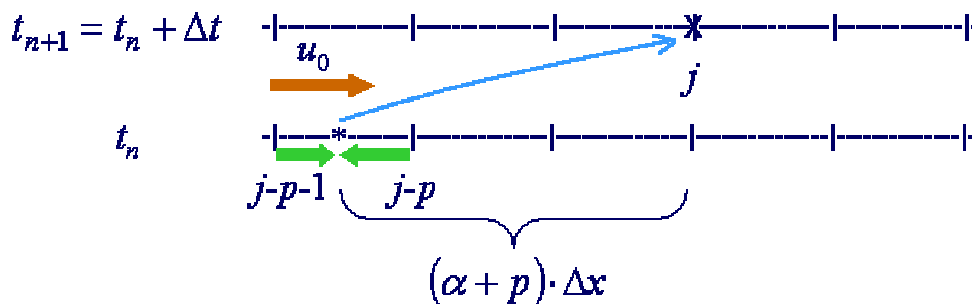
A nem-lineáris egyenletrendszer teljes implicit kezelése (ami biztosíthatná a feltétel nélküli stabilitást) nem lehetséges (reális), mert nem-lineáris operátor invertálását igényelné. Ezért

hogy az advekcíós sebesség által meghatározott stabilitási feltételt tovább tudjuk enyhíteni, a szemi-implicit sémát ötvözni kell egy másik hatékony módszerrel.

A hidro-termodinamikai egyenletrendszerben a legdominánsabb nem-lineáris tag a nem-lineáris advekciónak, ennek kezelésére segítségül hívjuk a Lagrange-módszert. A Lagrange-szemléletben nem egy térben rögzített koordináta-rendszer pontjaiban tekintjük az állapotváltozók változását, hanem a részecskékhez (légelemekhez) rögzített lokális koordináta-rendszerekkel dolgozunk: a részecskék trajektóriáját követjük, ami mentén magukkal viszik kiindulási tulajdonságaikat. Adott  $\phi$  tulajdonság trajektória-menti megmaradását fejezi ki az egydimenziós lineáris advekcíós egyenlet alábbi Lagrange-alakja:

$$\frac{d\phi}{dt} = 0, \text{ ahol } \frac{d}{dt} = \frac{\partial}{\partial t} + u_0 \frac{\partial}{\partial x} . \quad (\text{XIII.114.})$$

Tehát az állapotváltozók adott időpontban vett térbeli eloszlásának és pályájának ismeretében meghatározható jövőbeli eloszlásuk. A numerikus számítások során azonban szeretnénk az Euler-szemléletnek azt a kényelmes tulajdonságát megtartani, hogy a léggöri változókat egy szabályos rács rácspontjaiban tekintjük (egyrészt mert egyéb műveleteket is rácson kell elvégezni, másrészt mert ezáltal biztosítható az egyenletes térbeli lefedettség). Ez a tiszta Lagrange-módszer segítségével nem lehetséges, hiszen azok a részecskék, melyek kiindulás-kor még szabályosan helyezkedtek el, már egy időlépés után is szabálytalan és térben inhomogén elrendeződést vehetnek fel. Ezért az ún. **szemi-Lagrange módszerben minden időlépésben egy backward (visszafelé) trajektória számításával és térbeli interpoláció alkalmazásával állítjuk elő az állapotváltozók értékét az általunk kívánt rácspontokban** (XIII.5. ábra). Világos, hogy így az időbeli integrálás során nem ugyanazokat a részecskét követjük, hanem a rácspontok elhelyezkedése alapján **minden időlépésben új részecskehal-mazt definiálunk**.



XIII.5. ábra. A szemi-Lagrange módszer sematikus rajza.

A trajektória kiindulási pontját (melyet az ábrán \* jelöl) az advekcíós sebesség ismeretében tudjuk meghatározni, amit az egyszerűség kedvéért most tekintsünk állandónak: a részecske ekkor  $\Delta t$  idő alatt  $u_0$  sebességgel advektálódik, mialatt  $(\alpha + p) \cdot \Delta x$  távolságot tesz meg. A korábbi időszintről való indulás nem feltétlenül rácspontból történik, ezért a megtett utat két részre oszthatjuk: a  $\Delta t$  idő alatt bejárt rácspontok számát  $p$ -vel jelöljük, ahol  $p$  egész szám, a maradék út pedig a rácstávolság  $\alpha$ -szorosa, ahol  $\alpha$  értelemszerűen 0 és 1 közé eső törtszám, azaz:

$$(p + \alpha) \cdot \Delta x = u_0 \cdot \Delta t . \quad (\text{XIII.115.})$$

Az  $(n+1)$ -edik időlépésben a  $\phi$  állapotváltozó értéke a konzervativitás miatt meg fog egyezni a  $\phi$   $n$ -edik időlépésben és  $*$  pontban felvett értékével. Mivel az  $n$ -edik időszinten a  $\phi$  eloszlását csak a rácspontokban ismerjük, ezért a  $*$  pontbeli értéket térbeli interpolációval tudjuk előállítani. Az egyszerűség kedvéért tekintsük most a legegyszerűbb lineáris interpolációt, amivel a következőt kapjuk:

$$\phi_{j,n+1} = \phi_{*,n} = (1-\alpha) \cdot \phi_{j-p,n} + \alpha \cdot \phi_{j-p-1,n}. \quad (\text{XIII.116.})$$

A Neumann-módszer segítségével belátható, hogy

$$|\lambda_k|^2 = 1 - 2\alpha \cdot (1-\alpha) \cdot (1 - \cos k\Delta x) \quad (\text{XIII.117.})$$

mellett a séma stabilitásának feltétele, hogy  $\alpha$ -ra fennálljon az alábbi:

$$0 \leq \alpha \leq 1. \quad (\text{XIII.118.})$$

Ez azonban a séma konstrukciójából eredően teljesül (hiszen  $\alpha$ -t pontosan így választottuk meg), így **a séma feltétel nélkül stabil**. A szemi-Lagrange módszer alkalmazásával tehát nem kell tekintettel lennünk a CFL-kritériumra, az abban megengedettnél hosszabb időlépcsőt is választhatunk. Ez az időlépcső azonban továbbra sem lehet tetszőlegesen nagy: **teljesülnie kell a Lipschitz-feltételnek**, mely szerint **a trajektóriák egy időlépcső alatt nem metszhetik egymást** – ellenkező esetben nem lehetséges a részecskék pályáját egyértelműen meghatározni. Mindazonáltal numerikus kísérletekkel igazolták, hogy mezoskálájú modellek esetén a szemi-Lagrange séma az időlépcső mintegy hatszoros növelését teszi lehetővé az euléri sé mákkal szemben (Staniforth és Côté, 1991), továbbá a szemi-implicit sémával való kombinálása esetén az integrálás hatékonysága további hatszorosával nő (Robert et al., 1985).

## Feladatok

### [13. feladat:](#)

A  $\phi$  mennyiségre vonatkozó egydimenziós lineáris advekción egyenletre a szemi-Lagrange módszert alkalmazva,  $\phi$  értékét tetszőleges  $j$  rácspontban és  $(n+1)$ -edik időlépésben a következőképpen határozhatjuk meg:

$$\phi_{j,n+1} = \phi_{*,n} = (1-\alpha) \cdot \phi_{j-p,n} + \alpha \cdot \phi_{j-p-1,n}, \quad (\text{XIII.119.})$$

ahol a  $p$  egész szám a  $\Delta t$  idő alatt bejárt rácspontok száma,  $\alpha$  pedig 0 és 1 közé eső törtszám, ami azt fejezi ki, hogy a maradék út a rácsávolságnak hanyadrésze. Neumann-módszer segítségével végezzük el (XIII.119.) stabilitási analízisét!

### [14. feladat:](#)

Lássuk be, hogy a  $\phi$  mennyiségre vonatkozó egydimenziós lineáris advekción egyenletre a szemi-Lagrange módszert alkalmazva, a folytonos feladatban lévő  $(u_0)$  és a diszkrétizált feladatban uralkodó  $(c')$  fázissebességek viszonyát jellemző fázishibára a következő adódik:

$$R = \frac{c'}{u_0} = \frac{p \cdot k \cdot \Delta x + \operatorname{arctg} \left[ \frac{\alpha \cdot \sin k\Delta x}{1 - \alpha(1 - \cos k\Delta x)} \right]}{k \cdot \Delta x \cdot (p + \alpha)}, \quad (\text{XIII.120.})$$

ahol a  $p$  egész szám a  $\Delta t$  idő alatt bejárt rácspontok száma,  $\alpha$  pedig 0 és 1 közé eső törtszám, ami azt fejezi ki, hogy a maradék út a rácstávolságnak hanyadrésze! Értelmezzük az eredményt!

## Megoldások

### 13. feladat:

A Neumann-módszert (l. a [8. feladat](#)nál) alkalmazva (XIII.119.)-re:

$$\lambda_k^{n+1} \cdot c_k \cdot e^{ikx_j} = (1 - \alpha) \cdot \lambda_k^n \cdot c_k \cdot e^{ikx_{j-p}} + \alpha \cdot \lambda_k^n \cdot c_k \cdot e^{ikx_{j-p-1}}. \quad (\text{XIII.121.})$$

Egyszerűsítve  $\lambda_k^n \cdot c_k \cdot e^{ikx_j}$ -vel:

$$\lambda_k = (1 - \alpha) \cdot e^{-ik \cdot p\Delta x} + \alpha \cdot e^{-ik \cdot (p+1)\Delta x}. \quad (\text{XIII.122.})$$

Ezt kifejtve:

$$\begin{aligned} \lambda_k &= (1 - \alpha) [\cos(pk\Delta x) - i \cdot \sin(pk\Delta x)] + \\ &\quad + \alpha \{ \cos[(p+1)k\Delta x] - i \cdot \sin[(p+1)k\Delta x] \} = \\ &= (1 - \alpha) \cdot \cos(pk\Delta x) + \alpha \cdot \cos[(p+1)k\Delta x] - \\ &\quad - i \cdot (1 - \alpha) \cdot \sin(pk\Delta x) - i \cdot \alpha \cdot \sin[(p+1)k\Delta x]. \end{aligned} \quad (\text{XIII.123.})$$

Kifejezve  $\lambda_k$  abszolútértékének négyzetét:

$$\begin{aligned} |\lambda_k|^2 &= \operatorname{Re}^2 + \operatorname{Im}^2 = \\ &= (1 - \alpha)^2 \cdot \cos^2(pk\Delta x) + \alpha^2 \cdot \cos^2[(p+1)k\Delta x] + \\ &\quad + 2(1 - \alpha) \cdot \alpha \cdot \cos(pk\Delta x) \cdot \cos[(p+1)k\Delta x] + \\ &\quad + (1 - \alpha)^2 \cdot \sin^2(pk\Delta x) + \alpha^2 \cdot \sin^2[(p+1)k\Delta x] + \\ &\quad + 2(1 - \alpha) \cdot \alpha \cdot \sin(pk\Delta x) \cdot \sin[(p+1)k\Delta x]. \end{aligned} \quad (\text{XIII.124.})$$

Felismerve a  $\sin^2 \alpha + \cos^2 \alpha = 1$  és a  $\cos(\alpha - \beta) = \cos \alpha \cdot \cos \beta + \sin \alpha \cdot \sin \beta$  azonosságokat, a fentit egyszerűbb alakra hozhatjuk:

$$|\lambda_k|^2 = (1 - \alpha)^2 + \alpha^2 + 2(1 - \alpha) \cdot \alpha \cdot \cos(k\Delta x). \quad (\text{XIII.125.})$$

Átrendezés után az alábbiit kapjuk:

$$|\lambda_k|^2 = 1 - 2(1 - \alpha) \cdot \alpha \cdot [1 - \cos(k\Delta x)]. \quad (\text{XIII.126.})$$

A stabilitáshoz a következőnek kell teljesülnie:

$$\begin{aligned} |\lambda_k|^2 &= 1 - 2(1 - \alpha) \cdot \alpha \cdot [1 - \cos(k\Delta x)] \leq 1, \\ 0 &\leq (1 - \alpha) \cdot \alpha \cdot [1 - \cos(k\Delta x)]. \end{aligned} \quad (\text{XIII.127.})$$

Mivel a harmadik tényező nem-negatív, így az első két tényező szorzatának is annak kell lennie a feltétel teljesüléséhez. Ez pedig úgy lehetséges, ha  $0 \leq \alpha \leq 1$ , ami eleve adódik a séma konstrukciójából. A szemi-Lagrange módszer tehát feltétel nélkül stabil.

#### 14. feladat:

A 13. feladatban  $\lambda_k$ -ra a következőt kaptuk:

$$\lambda_k = (1 - \alpha) \cdot e^{-ik \cdot p\Delta x} + \alpha \cdot e^{-ik \cdot (p+1)\Delta x}. \quad (\text{XIII.128.})$$

A diszkrét feladatbeli fázissebesség kifejezéséhez tekintsük  $\lambda_k$ -ra a  $\lambda_k = |\lambda_k| \cdot e^{i\theta}$  alakot és használjuk fel a (XIII.128.) összefüggést:

$$\lambda_k = |\lambda_k| \cdot e^{i\theta} = e^{-ik \cdot p\Delta x} [1 - \alpha \cdot (1 - e^{-ik\Delta x})]. \quad (\text{XIII.129.})$$

Rendezzük át a kapott egyenletet a következőképpen:

$$|\lambda_k| \cdot e^{i\theta} \cdot e^{ik \cdot p\Delta x} = 1 - \alpha \cdot (1 - e^{-ik\Delta x}). \quad (\text{XIII.130.})$$

Felismerve és ismét felhasználva a  $\lambda_k = |\lambda_k| \cdot e^{i\theta}$  alakot:

$$|\lambda_k| \cdot e^{i(\theta + kp\Delta x)} = \underbrace{1 - \alpha + \alpha \cdot \cos(k\Delta x)}_{\text{Re}} - i \cdot \underbrace{\alpha \cdot \sin(k\Delta x)}_{\text{Im}}. \quad (\text{XIII.131.})$$

Ebből  $\theta' = \theta + kp\Delta x$  helyettesítéssel élve:

$$\theta' = \theta + kp\Delta x = \text{arctg} \frac{\text{Im}}{\text{Re}} = \text{arctg} \frac{-\alpha \cdot \sin(k\Delta x)}{1 - \alpha + \alpha \cdot \cos(k\Delta x)}. \quad (\text{XIII.132.})$$

Kifejezve a  $\theta$  fázisszöveget:

$$\theta = \text{arctg} \frac{-\alpha \cdot \sin(k\Delta x)}{1 - \alpha + \alpha \cdot \cos(k\Delta x)} - kp\Delta x, \quad (\text{XIII.133.})$$

amiből a fázishiba (XIII.115.) felhasználásával a következőnek adódik:

$$R = \frac{c'}{u_0} = -\frac{\theta}{u_0 \cdot k \Delta t} = \frac{p \cdot k \cdot \Delta x + \arctg \left[ \frac{\alpha \cdot \sin k \Delta x}{1 - \alpha(1 - \cos k \Delta x)} \right]}{k \cdot \Delta x \cdot (p + \alpha)}. \quad (\text{XIII.134.})$$

A fázishibára kapott kifejezés alapján látható, hogyha a kiindulási pont rácspontba esik, azaz  $\alpha$  értéke 0 vagy 1, akkor a szemi-Lagrange módszer nem változtat a megoldás terjedési sebességén ( $R = 1$ ). A hosszú hullámoknál (amikor  $k \Delta x \rightarrow 0$ ) a fázishiba szintén 1-hez közeli értéket vesz fel, továbbá akkor is, amikor a  $p$  nagy, tehát egy időlépés alatt a részecske nagy távolságot tesz meg.

### XIII.7. Kitekintés

A példatár jelen fejezetében a numerikus prognosztika számos területe közül a különböző diszkretizációs eljárások pontosságát és stabilitását elemeztük gyakorlati feladatokon keresztül, külön hangsúlyt fektetve az ún. *rácspointi modellekben* a differenciáloperátorok közelítésére használt véges különbséges sémákra. Az alábbiakban röviden áttekintést adunk azokról a témákról, amelyek a jelen jegyzetben nem szerepeltek, de a numerikus előrejelzés kulcsfontosságú módszereiként részletesen tárgyaljuk őket az „Alkalmazott számszerű előrejelzés – numerikus időjárás és csatolt modellek a gyakorlatban” című jegyzet II. fejezetében, esetenként gyakorlati példákkal kiegészítve:

- A véges differencia sémák mellett az egyenletekben szereplő horizontális térbeli differenciáloperátorokat közelíthetjük olyan folytonos függvények lineáris kombinációjaként, melyek analitikusan deriválhatók, s így elvben segítségükkel a deriváltak végteleen rendű pontossággal meghatározhatók. Ezt a technikát Galjorkin-módszernek nevezzük és ezen belül a függvényrendszer megválasztásától függően beszélhetünk végeselem, illetve spektrális módszerről.
- A numerikus előrejelzés során olyan folyamatokat is figyelembe kell vennünk, amelyeket nem tudunk explicit módon származtatni – vagy azért, mert túl bonyolultak, vagy azért, mert karakterisztikus méretük kisebb a modell térbeli rácsának felbontásánál. Ezeket ún. *parametrizációs eljárások* segítségével írjuk le a numerikus modellekben.
- A modellintegrálás megkezdéséhez szükséges kezdeti feltétel meghatározása az előrejelzés elkészítésének egyik legkritikusabb lépése, hiszen minél pontosabban ismerjük a légkör kiindulási állapotát leíró meteorológiai elemek eloszlását, annál megbízhatóbban tudjuk előrejelezni ezek változását. Az ún. *adatasszimiláció* során az előrejelzési tartományt lefedő háromdimenziós rács minden pontjában előállítjuk az állapotváltozók kezdeti értékeit, amihez minden létező meteorológiai információt felhasználunk: különböző típusú megfigyelési adatokat, korábbi időpontból indított modell-előrejelzéseket, valamint ezek egyes jellemzőit.
- A numerikus prognosztika dinamikusan fejlődő területe az éghajlati modellezés, ami hasonló numerikus módszerekre támaszkodik, mint a rövidtávú előrejelzések. Lényeges különbség az időjárás előrejelzéséhez képest, hogy az éghajlati rendszer fejlődését nemcsak a légkör, hanem a teljes földi rendszer folyamatai kormányozzák, ezért az éghajlati szimulációkban a légköri modellekhez óceáni és egyéb numerikus modelleket is csatolnak, ami egyben az előrejelezhetőség fogalmát is átértelmezi.
- A meteorológiai előrejelzések bizonytalansággal terheltek, melyek több forrásból erednek. A rövidtávú előrejelzések esetében elsősorban a kezdeti feltételek bizonytalanságából, valamint az időjárás modellek pontatlanságaiból származnak, éghajlati skálán pedig a klímamodellek közelítő jellegéből és a jövőbeli emberi tevékenység előrejelezhetetlenségéből (kiszámíthatatlanságából) adódnak. A különböző bizonytalanságokat az ún. *ensemble technika* segítségével számszerűsíthetjük, amelynek során nem egyetlen modellkísérletet tekintünk, hanem több szimuláció együttesét.

### Köszönetnyilvánítás

Köszönet illeti *Horányi Andrást* javaslataiért és észrevételeiért, melyek mindig további gondolkodásra késztetnek.

## Irodalom

- Courant, R., Friedrichs, K.O., Lewy, H., 1928: Über die Partiellen Differenzgleichungen der Mathematischen Physik. *Math. Annalen* 100, 32–74.
- Courant, R., Hilbert, D., 1962: *Partial differential equations. Methods of mathematical physics*, Vol. II, Interscience, New York, pp. 561.
- Dévényi D., Horányi A., Radnóti G., 1998: *Numerikus módszerek az időjárás előrejelzésben.* Országos Meteorológiai Szolgálat, Budapest.
- Kalnay, E., 2003: *Atmospheric modelling, data assimilation and predictability.* Cambridge University Press, Cambridge.
- Horányi A., Ihász I., Radnóti G., 1998: Az időjárás számszerű előrejelzése. *Természet Világa* 129, különszám, 39–42.
- Lax, P.D., Richtmyer, R.D., 1956: Survey of the stability of linear finite difference equations. *Comm. Pure Appl. Math.* 9, 267–293.
- Mesinger, F., Arakawa, A., 1976: *Numerical Methods Used in Atmospheric Models, Volume 1.* GARP Publications Series 17.
- Radnóti G., 2003: A numerikus előrejelzés alapjai, numerikus módszerek. 29. Meteorológiai Tudományos Napok, beszámolókötet, 25–40.
- Robert, A.J., 1981: A stable numerical integration scheme for the primitive meteorological equations. *Atmosphere–Ocean* 19, 35–46.
- Robert, A., Yee, T.L., Ritchie, H., 1985: A semi-Lagrangian and semi-implicit numerical integration scheme for multilevel atmospheric models. *Mon. Wea. Rev.* 113, 388–394.
- Staniforth, A., Côté, J., 1991: Semi-Lagrangian Integration Schemes for Atmospheric Models – A Review. *Mon. Wea. Rev.* 119, 2206–2223.